

## ۲

# نمایش سیستم‌های کنترل خطی

اهداف فصل:

- ۱- آشنایی با مفهوم تابع تبدیل و بدست آوردن توابع تبدیل سیستم‌های کنترل و اجزاء آنها.
  - ۲- رسم دیاگرام‌های بلوکی و نمودارهای گذر سیگنال برای یک سیستم کنترل و بررسی چگونگی کاربرد آنها.
  - ۳- آشنایی با نمایش سیستم توسط متغیرهای حالت و مفاهیم اولیه فضای حالت.
  - ۴- مدلسازی سیستم‌های فیزیکی.
  - ۵- آشنایی با مدلسازی موتورهای DC، به عنوان یک نمونه سیستم صنعتی.
- توجه: قبل از مطالعه این فصل آشنایی با تبدیل لاپلاس و کاربردهای آن الزامی است.

## ۱-۲ مقدمه

در مسایل عملی مهندسی کنترل، قبل از شروع تحلیل سیستم به منظور طراحی سیستم کنترل، در دست داشتن یک مدل دقیق ریاضی از سیستم الزامی است. در واقع اولین قدم در راه طراحی سیستم کنترل برای یک سیستم، مدل‌سازی آن سیستم توسط بیان مشخصه‌های آن با معادلات ریاضی است. لذا بدست آوردن مدل ریاضی سیستم که نمایانگر مشخصه‌های آن است، از اهمیت فوق العاده‌ای برخوردار می‌باشد.

بدون شک توصیف کامل عملکرد و عملیات سیستم فیزیکی بر حسب معادلات ریاضی، یک مجموعه بسیار پیچیده از تعداد زیادی معادله و روابط ریاضی را بهمراه خواهد داشت که به علت پیچیدگی بیش از اندازه برای تحلیل و طراحی سیستم مناسب نخواهد بود. از طرف دیگر، مدل ریاضی سیستم فیزیکی نباید بیش از اندازه ساده باشد، ساده سازی بیش از اندازه موجب می‌شود که مشخصه‌های مهم سیستم در مدل آن وارد نشود و تحلیل انجام شده بر اساس مدل، غلط یا غیرکافی باشد و هم‌چنین سیستم کنترل طراحی شده براساس این چنین مدلی نامناسب خواهد بود. بنابراین در تعیین مدل ریاضی یک سیستم فیزیکی، باید مشخصه‌های مهم و اساسی سیستم در مدل‌سازی در نظر گرفته شوند و در این انتخاب مقدار متناسبی تجربه و دید عملی لازم است.

برای سیستم‌های دینامیکی مورد بررسی در این کتاب، معادلات دیفرانسیل یک صورت متناسب برای توصیف ریاضی سیستم است.

## ۲-۲ توابع تبدیل

همانطور که در مقدمه اشاره شد، برای تحلیل درست و دقیق یک سیستم، بدست آوردن مدل آن لازم است. این مدل می‌تواند توسط روش‌های پیشرفته شناسایی سیستم<sup>۱</sup> از داده‌های ورودی - خروجی<sup>۲</sup> سیستم، یا با ترکیب اطلاعات اجزاء جداگانه تشکیل دهنده سیستم بدست آورده شود. در هر دو صورت، با تعیین مدل می‌توان پاسخ<sup>۳</sup> سیستم به ورودی‌های وارد به آن را بدست آورد. به عبارت دیگر، خروجی مدل ریاضی سیستم در پاسخ به ورودی اعمال

1- System identification

2- Input-output data

3- Response

شده به آن باید با خروجی سیستم واقعی در پاسخ به همان ورودی، یکسان باشد. مدل ریاضی را می‌توان به صورت تابعی در نظر گرفت که به ازاء ورودیهای مختلف، خروجیهای متناظر با سیستم واقعی را نشان می‌دهد. این چنین تابعی را تابع تبدیل<sup>۱</sup> می‌نامند.

در سیستم‌های دینامیکی رابطه بین ورودی سیستم ( $t$ ) $u(t)$  و خروجی سیستم ( $t$ ) $y(t)$  را می‌توان به صورت یک معادله دیفرانسیل به صورت زیر نوشت

$$(D^n + a_{n-1}D^{n-1} + \dots + a_1D + a_0)y(t) = (b_mD^m + b_{m-1}D^{m-1} + \dots + b_1D + b_0)u(t) \quad (1-2-2)$$

که در آن

$$Dy(t) = \frac{dy}{dt}(t), D^2y(t) = \frac{d^2y}{dt^2}(t), \dots$$

هم چنین ضرایب  $a_0, a_1, \dots, a_{n-1}, a_n$  و  $b_0, b_1, \dots, b_{m-1}, b_m$  مقادیر حقیقی هستند که توسط مشخصه‌های سیستم تعیین می‌گردند، مرتبه‌های  $n$  و  $m$  نیز مستقیماً با ساختار سیستم ارتباط دارند.

توجه کنید که با مشخص کردن اعداد صحیح  $n$  و  $m$ ، همراه با ضرایب  $a_1, \dots, a_{n-1}$  و  $b_1, \dots, b_{m-1}$  برای یک دسته داده شده مقادیر اولیه در  $t=0$  پاسخ سیستم برای هر  $t > 0$  را می‌توان با حل معادله دیفرانسیل داده شده با معادله (1-2-2) بدست آورد. لیکن حل این معادله دیفرانسیل در حالت کلی کار ساده‌ای نیست و با بزرگ شدن اعداد صحیح  $n$  و  $m$  مشکل خواهد بود. به این دلیل برای پیدا کردن پاسخ سیستم‌های فیزیکی و صنعتی از این روش نمی‌توان استفاده نمود.

یک راه حل بسیار ساده، استفاده از تبدیل لاپلاس است. با گرفتن تبدیل لاپلاس از طرفین معادله (1-2-2) و فرض شرایط اولیه صفر در  $t=0$  داریم

$$(s^n + a_{n-1}s^{n-1} + \dots + a_1s + a_0)Y(s) = (b_ms^m + b_{m-1}s^{m-1} + \dots + b_1s + b_0)U(s) \quad (2-2-2)$$

که در آن  $U(s)$  و  $Y(s)$  نیز به ترتیب مقادیر تبدیل شده سیگنال‌های ورودی ( $t$ ) $u(t)$  و خروجی ( $t$ ) $y(t)$  هستند.

معادله (۲-۲-۲) را می‌توان به صورت زیر نوشت

$$Y(s) = G(s)U(s) \quad (3-2-2)$$

که در آن  $G(s)$  مستقل از سیگنال‌های ورودی و خروجی، تابعی است که ورودی  $(s)U$  را به خروجی  $(s)Y$  تبدیل می‌کند (یا انتقال می‌دهد). بنابراین در حالت کلی، تابع تبدیل را می‌توان به صورت نسبت دو چند جمله‌ای با شرایط اولیه صفر به صورت زیر در نظر گرفت

$$G(s) = \frac{b_m s^m + b_{m-1} s^{m-1} + \dots + b_1 s + b_0}{s^n + a_{n-1} s^{n-1} + \dots + a_1 s + a_0} \quad (4-2-2)$$

درجه چندجمله‌ای مخرج  $G(s)$  را مرتبه سیستم<sup>۱</sup> نامیده و سیستم را یک سیستم مرتبه  $n-m$ <sup>۲</sup> می‌نامند. ضرایب  $a_i$  ها و  $b_i$  ها در تابع تبدیل  $G(s)$ ، ثابت و تغییرناپذیر با زمان هستند. کاربرد ایده تابع تبدیل به سیستم‌های خطی تغییرناپذیر با زمان محدود می‌شود. در اینجا مراحل بدست آوردن تابع تبدیل یک سیستم فیزیکی را بیان می‌کنیم:

- ۱- معادله دیفرانسیل سیستم را بنویسید.
- ۲- با فرض صفر بودن کلیه شرایط اولیه، تبدیل لaplas معادله دیفرانسیل را پیدا کنید.
- ۳- نسبت خروجی  $(s)Y$  به ورودی  $(s)U$  را پیدا کنید. این نسبت، تابع تبدیل است.

### مثال ۱-۲-۲

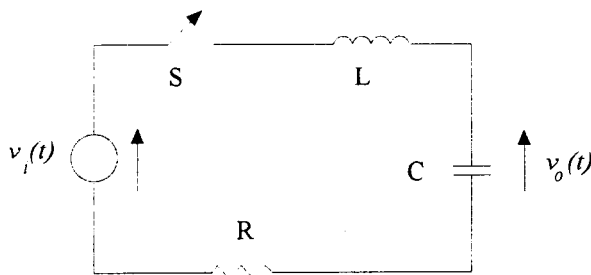
مدار سری RLC نشان داده شده در شکل ۱-۲ را در نظر بگیرید. فرض کنید که تا قبل از سته شدن کلید S در زمان  $t=0$ ، جریان  $(t)$  وجود ندارد و هم‌چنین خازن C نیز شارژ نشده باقی می‌ماند. مطلوب است تابع تبدیل مدار با ولتاژ ورودی  $(t)$  و ولتاژ خروجی  $v(t)$  را برای  $t \geq 0$  تعیین کنیم.

نخست معادله دیفرانسیل مدار را با استفاده از قانون ولتاژ کیرشاف<sup>۳</sup> می‌نویسیم. با استفاده از این قانون ولتاژ ورودی  $(t)$  باید برابر مجموع افت ولتاژهای دو سر سلف، خازن و مقاومت باشد. یعنی آنکه

1- System order

2- n-th order system

3- Kirchhoff's voltage law



شکل ۱-۲ مدار RLC سری با ورودی  $v_i(t)$

$$v_i(t) = L \frac{di(t)}{dt} + \frac{1}{C} \int^t i(\tau) d\tau + Ri(t)$$

برای از بین بردن عبارت انتگرالی، با مشتق گیری از طرفین معادله بالا داریم.

$$Dv_i(t) = (LD + RD + \frac{1}{C})i(t)$$

اکنون با گرفتن تبدیل لاپلاس از طرفین معادله بالا داریم

$$CsV_i(s) = (LCs + RC + 1)I(s)$$

یا

$$I(s) = \frac{Cs}{LCs + RC + 1} V_i(s)$$

تابع تبدیل بدست آمده، ولتاژ ورودی  $V_i(s)$  را به جریان  $(s)I$  ارتباط می‌دهد. در مرحله بعد

باید تابع تبدیل بین جریان و ولتاژ خروجی  $(s)V_o$  را بدست آوریم.

ولتاژ دو سر خازن  $C$ ، که ولتاژ خروجی نیز هست، عبارتست از

$$V_o(t) = \frac{1}{C} \int^t i(\tau) d\tau$$

یا

$$Dv_o(t) = \frac{1}{C} i(t)$$

که تبدیل لاپلاس آن عبارتست از

$$V_o(s) = \frac{1}{Cs} I(s)$$

با جایگزینی برای  $(s)I$  از معادله بالا، تابع تبدیل بین ولتاژ خروجی و ورودی چنین است

$$V_o(s) = \frac{1}{LCs^2 + RCs + 1} V_i(s)$$

مثال ۲-۲-۲

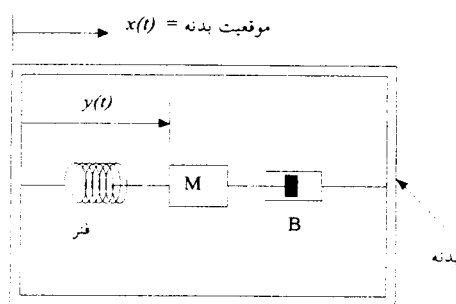
سیستم مکانیکی نشان داده شده در شکل ۲-۲ یک شتاب سنج<sup>۱</sup> ساده است. موقعیت جرم M نسبت به شتاب سنج ( $t$ )<sup>۲</sup> متناسب با شتاب بدنه است. تابع تبدیل بین شتاب ورودی A(s) و خروجی Y(s) را پیدا کنید.

معادله دیفرانسیل حاکم بر سیستم، از مساوی قرار دادن مجموع نیروهای عمداً کننده بر روی جرم M، با شتاب اینرسی آن بدست می‌آید. از قانون دوم نیوتون داریم

$$-B \frac{dy(t)}{dt} - Ky(t) = M \frac{d^2}{dt^2}(y(t) - x(t))$$

یا

$$M \frac{d^2y(t)}{dt^2} + B \frac{dy(t)}{dt} + Ky(t) = M \frac{d^2x(t)}{dt^2} = Ma(t)$$



شکل ۲-۲ شتاب سنج مثال ۲-۲-۲

که در آن  $a(t)$  شتاب ورودی است. با فرض شرایط اولیه صفر، یس از تبدیل لاپلاس داریم

$$(Ms^2 + Bs + K)Y(s) = MA(s)$$

بنابراین تابع تبدیل شتاب سنج عبارتست از

$$\frac{Y(s)}{A(s)} = \frac{1}{s^2 + (B/M)s + K/M}$$

- در اینجا، چند نکته مهم را در رابطه با توابع تبدیل عنوان می‌کنیم:
- ۱- تابع تبدیل یک سیستم، یک مدل ریاضی از آن سیستم است که رابطه بین متغیر ورودی و متغیر خروجی را بیان می‌دارد.
  - ۲- تابع تبدیل یک خاصیت از خود سیستم است و مستقل از اندازه و ماهیت ورودی به آن می‌باشد.
  - ۳- توابع تبدیل سیستم‌های فیزیکی مختلف می‌توانند یکسان باشند. در واقع توابع تبدیل ارتباط بین ورودی و خروجی را بدست می‌دهند و هیچ‌گونه اطلاعاتی در رابطه با ساختار داخلی سیستم در اختیار ما نمی‌گذارد.
  - ۴- با در دست داشتن تابع تبدیل یک سیستم، می‌توان از ماهیت سیستم توسط بررسی پاسخهای آن به ورودیهای مختلف، اطلاعات مفیدی به دست آورد.

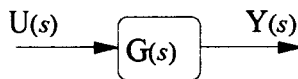
### ۳-۲ دیاگرام‌های بلوکی

در بخش ۲-۲ توصیف ریاضی سیستم را بر حسب نمایش تابع تبدیل بررسی کردیم. اگر تنها با سیستم‌های ساده همچون مثالهای قبل سروکار داشته باشیم، ضرورتی برای نمایش‌های دیگر از سیستم احساس نخواهیم کرد. لیکن اگر سیستم ساده قبل، جزیی از یک مجموعه از سیستم‌ها باشد که با هم ارتباط خاصی داشته باشند، آنگاه تابع تبدیل کل سیستم، تابع پیچیده‌ای خواهد بود که به ارتباط بین این سیستم‌ها بستگی خواهد داشت. اگر چه می‌توان با ارتباط بین سیستم‌های مختلف به صورت کاملاً جبری برخورد کرد، لیکن با زیاد شدن اجزاء سیستم، ارتباط دادن معادله‌های مختلف با سیستم‌هایی که آنها را نمایش می‌دهند، بسیار مشکل خواهد بود. یک راه حل این مشکل، نمایش دادن سیستم مورده نظر توسط دیاگرام بلوکی<sup>۱</sup> است، که یک نمایش گرافیکی می‌باشد. با استفاده از این نمایش، بسادگی می‌توان سیستم‌های (یا کنترل کننده‌های) دیگری را به مجموع سیستم کنترل اضافه و یا کم کرد. یک مزیت استفاده از دیاگرام‌های بلوکی آن است که می‌توان با سرعت و دقت زیاد، ترکیب‌های مختلفی برای سیستم کنترل در نظر گرفت.

### ۱-۳-۲ اجزاء اصلی دیاگرام‌های بلوکی

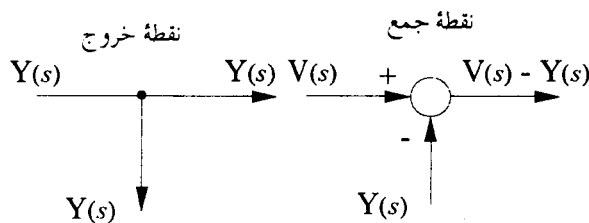
تصویف سیستم توسط تابع تبدیل که در بخش ۲-۲ معرفی گردید، به صورت دیاگرام بلوکی نشان داده شده در شکل ۳-۲ نمایش داده می‌شود. از این‌رو دیاگرام بلوکی شکل ۳-۲ معادله  $(s)U(s)=G(s)Y(s)$  نمایشهای مختلف از یک سیستم هستند و دقیقاً یک معنی را بیان می‌کنند.

همانطور که از شکل ۳-۲ مشاهده می‌گردد، سیگنال‌های  $(s)U$  و  $(s)Y$  بر حسب یک جهت که به پیکانها داده شده است، نشان داده شده‌اند و بلوک نیز مدل سیستم که با  $(s)G$  نشان داده شده است را دربرمی‌گیرد.



شکل ۳-۲ دیاگرام بلوکی یک تابع تبدیل

دو جزء اصلی دیگر یک نمایش دیاگرام بلوکی، نقطه جمع<sup>۱</sup> و نقطه خروج<sup>۲</sup> هستند. این دو نقطه در شکل ۴-۲ نشان داده شده‌اند.



شکل ۴-۲ نقاط جمع و خروج

نقطه جمع که معمولاً با یک دایره نمایش داده می‌شود (در بعضی از کتابها از علامتهای  $\Sigma$  یا  $\times$  در داخل دایره استفاده می‌شود) می‌تواند هر چند تعداد سیگنال ورودی داشته باشد، هر

1- Summing point

2- Take-off point

کدام از این سیگنال‌ها یک علامت + یا - را با خود دارند که نشان دهنده عمل جمع یا تفریق آن سیگنال با سایر سیگنال‌ها است. نقطه جمع تنها یک خروجی دارد که به سایر قسمتهای دیاگرام بلوکی وارد می‌شود. در صورت لزوم استفاده از یک متغیر در چندین محل، می‌توان از تعداد مناسبی نقاط خروج استفاده نمود.

### ۲-۳-۲ عملیات جبری بلوک دیاگرامی

دیاگرام‌های بلوکی سیستم‌های کنترل عملی اغلب بسیار پیچیده هستند. این دیاگرام‌های بلوکی عموماً چندین حلقه فیدبک و پیش‌خور و چندین ورودی دارند. با استفاده از روش سیستماتیک کاهش بلوک‌ها و حلقه‌ها، می‌توان این دیاگرام‌های بلوکی را به صورت ساده تبدیل کرد و توابع تبدیل قسمتهای مختلف و یا تابع تبدیل کل سیستم را بدست آورد. یک دسته از عملیات جبری دیاگرام بلوکی در جدول ۱-۲ آورده شده‌اند. برای تمرین، با بکارگیری قواعد اجزاء اصلی دیاگرام‌های بلوکی، قواعد ۱ تا ۱۳ جدول ۱-۲ را می‌توانید بسادگی اثبات کنید.

مراحل زیر را می‌توان برای کاهش دیاگرام‌های بلوکی بکار بست. در این مراحل از قواعد جدول ۱-۲ استفاده شده است.

مرحله ۱: با استفاده از قاعدة ۴ جدول ۱-۲، کلیه بلوک‌های سری را ترکیب کنید.

مرحله ۲: با استفاده از قاعدة ۵ جدول ۱-۲، کلیه بلوک‌های موازی را ترکیب کنید.

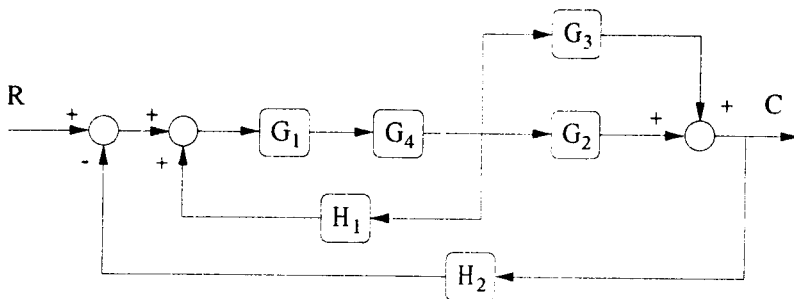
مرحله ۳: با استفاده از قاعدة ۱۳ جدول ۱-۲، کلیه حلقه‌های فیدبک جزئی را حذف کنید.

مرحله ۴: با استفاده از قواعد ۶ و ۷ جدول ۱-۲، نقاط جمع را به طرف چپ و نقاط خروج را به طرف راست حلقه اصلی انتقال دهید.

مرحله ۵: مراحل ۱ تا ۴ را در صورت لزوم تکرار کنید، تا دیاگرام بلوکی به صورت استاندارد فیدبک تبدیل شود.

### ۱-۳-۲ مثال

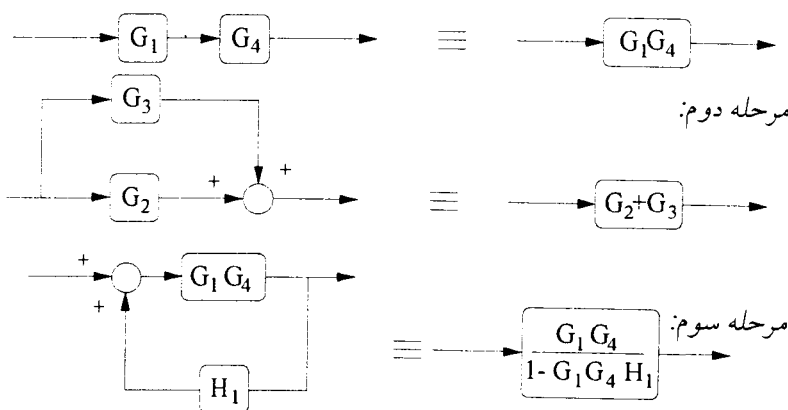
دیاگرام بلوکی نشان داده شده در شکل ۵-۲ را به صورت یک حلقه فیدبک تبدیل کنید.



شکل ۵-۲ دیاگرام بلوکی مثال ۱-۳-۲

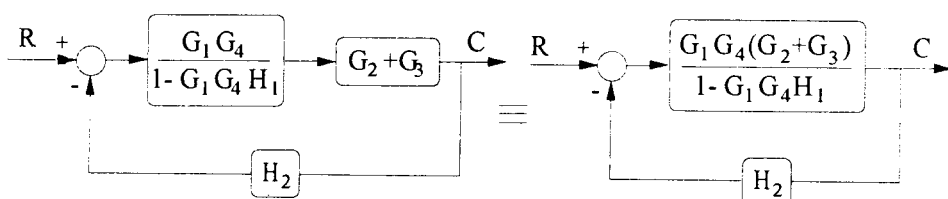
اکنون مراحل کاهش دیاگرام بلوکی را اجرا می‌کنیم.

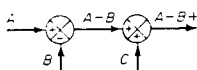
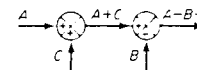
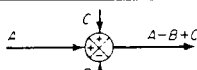
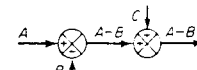
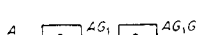
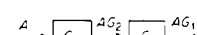
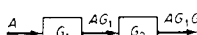
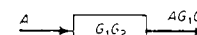
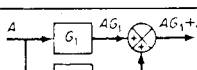
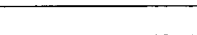
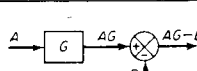
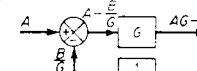
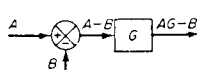
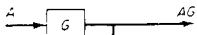
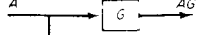
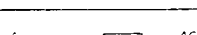
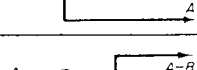
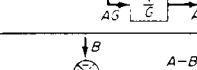
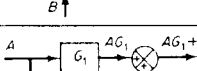
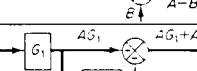
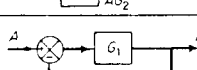
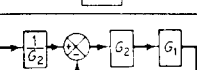
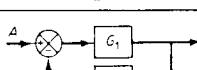
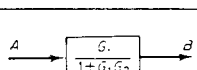
مرحله اول:



مرحله چهارم: در این مثال موردی ندارد

مرحله پنجم:



دیاگرامهای بلوکی اصلی		دیاگرامهای بلوکی معادل
1		
2		
3		
4		
5		
6		
7		
8		
9		
10		
11		
12		
13		

جدول ۱-۲ توانعند جبر دیاگرام بلوکی

توجه کنید که در صورت لزوم با اعمال قاعده ۱۳ از جدول ۲-۱، می‌توان تابع تبدیل حلقه -  
بسته را بدست آورد.

### ۲-۳-۲ رسم دیاگرام بلوکی سیستم‌های فیزیکی

در اینجا مراحل رسم دیاگرام بلوکی برای یک سیستم را ارایه می‌کنیم:

مرحله ۱: معادلات توصیف کننده رفتار هر عنصر را بنویسید.

مرحله ۲: تبدیل لاپلاس معادلات بدست آمده از مرحله اول را بگیرید (شرط اولیه را صفر فرض کنید).

مرحله ۳: هر کدام از معادلات تبدیل لاپلاس گرفته شده را به صورت یک بلوک مجزا رسم کنید.

مرحله ۴: بلوک‌های بدست آمده در مرحله ۳ را در یک دیاگرام بلوکی کامل، ترکیب کنید.

### مثال ۲-۳-۲

مدار RC نشان داده شده در شکل ۶-۲ (الف) را در نظر بگیرید. دیاگرام بلوکی مدار را رسم کنید.

نخست معادلات مدار را می‌نویسیم. داریم

$$i = \frac{e_i - e_o}{R}$$

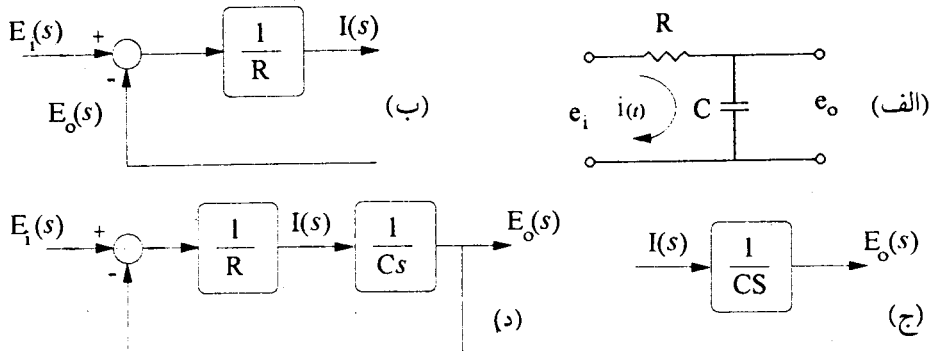
$$e_o = \int i dt$$

تبدیل لاپلاس این معادله‌ها، با شرط صفر بودن شرایط اولیه، عبارتند از

$$I(s) = \frac{E_i(s) - E_o(s)}{R}$$

$$E_o(s) = \frac{I(s)}{Cs}$$

معادله (۱) یک عمل جمع را نشان می‌دهد و دیاگرام بلوکی متناظر آن در شکل ۶-۲ (ب)  
نشان داده شده است. معادله (۲) دیاگرام بلوکی شکل ۶-۲ (ج) را نشان می‌دهد. در آخرین



شکل ۲-۶ (الف) مدار RC (ب) دیاگرام بلوکی معادله (c)

(ج) دیاگرام بلوکی معادله (d) دیاگرام بلوکی مدار RC

مرحله با سرهم کردن این دو عنصر، دیاگرام بلوکی کلی نشان داده شده در شکل ۲-۶ (د) را بدست می آوریم.

### مثال ۲-۳-۲

سیستم مکانیکی نشان داده شده در شکل ۲-۷ را در نظر بگیرید. برای این سیستم یک دیاگرام بلوکی رسم کنید. با ساده کردن دیاگرام بلوکی بدست آمده، تابع تبدیل بین (s) و (x) را پیدا کنید. فرض کنید که جابجا باید باز موقعیت تعادل هنگامیکه \$x=0\$ است، اندازه گرفته می شود.

نخست معادلات دیفرانسیل اجزاء سیستم را می نویسیم. مجموع نیروهای عمل کننده بر روی جرم \$m\$ را به صورت \$F\$ تعریف کنید. معادلات سیستم عبارتند از

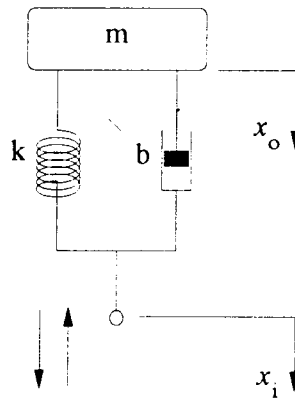
$$mD^2x = F$$

$$F = -b(Dx_s - Dx_i) - k(x_s - x_i)$$

با گرفتن تبدیل لاپلاس از این معادله ها، با فرض شرایط اولیه صفر، داریم

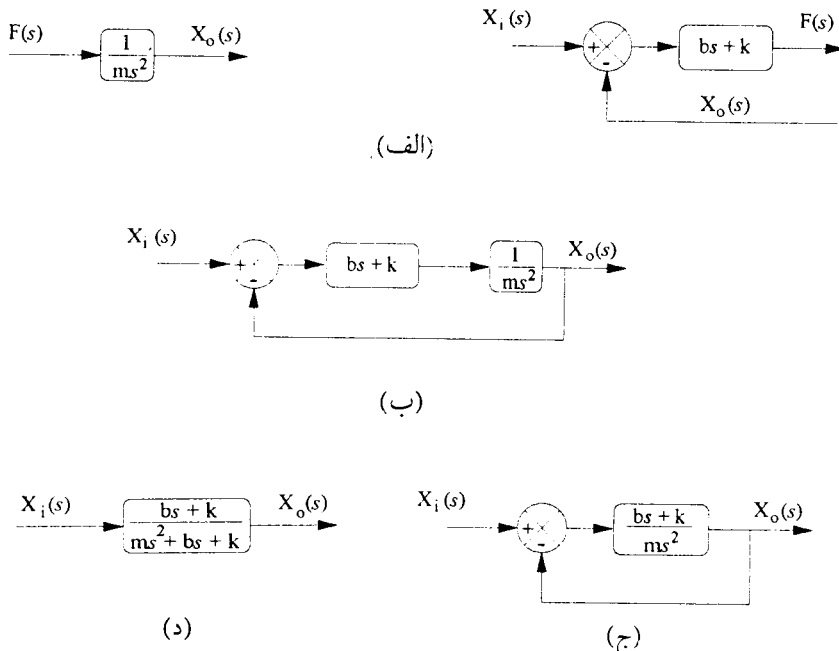
$$ms^2X_s(s) = F(s)$$

$$\begin{aligned} F(s) &= -b[sX_s(s) - sX_i(s)] - k[X_s(s) - X_i(s)] \\ &= (bs + k)[X_i(s) - X_s(s)] \end{aligned}$$



شکل ۲-۷ سیستم مکانیکی مثال ۲-۳-۲

از معادلات تبدیل لaplas گرفته شده، عناصر دیاگرام بلوکی نشان داده شده در شکل ۲-۸



شکل ۲-۸ (الف) عناصر یک دیاگرام بلوکی، (ب) دیاگرام بلوکی حاصل از ترکیب عناصر، (ج) دیاگرام‌های بلوکی ساده شده، (د) دیاگرام‌های بلوکی ساده شده.

(الف) را بدست می آوریم. با سرهم کردن مناسب این دو دیاگرام بلوکی، همانطور که در شکل ۸-۲ نشان داده شده است، دیاگرام بلوکی سیستم بدست می آید. با استفاده از قواعد ۴ و ۱۳ از جدول ۲-۱، دیاگرام بلوکی ورودی - خروجی و تابع تبدیل تبدیل سیستم، همانند شکل ۸-۲ (ج) و (د)، بدست می آید. لذا داریم

$$\frac{X_o(s)}{X_i(s)} = \frac{bs+k}{ms^2+bs+k}$$

## ۴-۲ نمودارهای گذر سیگنال

نمایش ترسیمی سیستم‌های کنترل به صورت دیاگرام‌های بلوکی در بخش ۳-۲ ارایه شد. یک روش دیگر برای نمایش ترسیمی سیستم‌های کنترل، روش نمودار گذر سیگنال<sup>۱</sup> است. باید توجه داشت که هر دو روش حاوی اطلاعات مشابهی در رابطه با سیستم می‌باشند و لذا از این نظر مزیتی بر یکدیگر نخواهند داشت.

نمودار گذر سیگنال، نمایشی تصویری از دستگاه معادلات جبری است که سیستم را توصیف می‌کنند. لذا باید برای اعمال روش نمودار گذر سیگنال در تحلیل سیستم‌های کنترل، نخست معادلات دیفرانسیل خطی سیستم را به معادلات جبری در ۴ تبدیل کرد. در واقع، همانند دیاگرام‌های بلوکی، نمودارهای گذر سیگنال انتقال سیگنال را در سیستم به صورت تصویری نمایش می‌دهند. لیکن رسم آن ساده‌تر از رسم دیاگرام‌های بلوکی است و بنابراین کار کردن با آن ساده‌تر می‌باشد.

یک نمودار گذر سیگنال از یک شبکه تشکیل می‌شود، که در آن گره‌ها توسط شاخه‌های جهت داده شده به هم متصل می‌باشند. هر گره نشان دهنده یک متغیر سیستم است و هر شاخه بین دو گره به صورت یک ضرب کننده سیگنال عمل می‌کند. در هر شاخه سیگنال فقط در یک جهت حرکت می‌کند و این جهت توسط پیکانی که بروی شاخه سوار است نشان داده می‌شود. برای مثال معادله ساده  $z_1 = z_2$  را در نظر بگیرید، که در آن  $z_1$  و  $z_2$  می‌توانند توابعی از زمان، فرکانس مختلط و یا هر کمیت دیگری باشند،  $z_1$  نیز یک عمل ریاضی است که  $z_2$  را به  $z_1$  انتقال می‌دهد. نمودار گذر سیگنال این معادله ساده در شکل ۹-۲ نشان داده شده است.



شکل ۹-۲ گراف جریان سیگنال معادله  $\sum_{j \neq i} t_{ij} = 0$

قبل از آنکه به بحث بیشتری در رابطه با نمودارهای گذر سیگنال و کاربرد آنها پردازیم، به تعاریف مقدماتی زیر توجه کنید.

**گره<sup>۱</sup>:** گره نقطه‌ای است که یک متغیر یا سیگنال رانشان می‌دهد.

**انتقال<sup>۲</sup>:** انتقال یک بهره حقیقی یا بهره مختلط بین دو گره است. این چنین بهره‌هایی را می‌توان بر حسبتابع تبدیل بین دو گره بیان کرد.

**شاخه<sup>۳</sup>:** شاخه یک پاره خط جهت داده شده است که دو گره را به هم متصل می‌کند. بهره یک شاخه، انتقال است.

**گره ورودی<sup>۴</sup> یا منبع<sup>۵</sup>:** یک گره ورودی یا منبع گره‌ای است که تنها شاخه‌هایی به آن متصل است که از آن خارج می‌شوند. این گره متناظر با یک متغیر مستقل است.

**گره خروجی<sup>۶</sup> یا سینک<sup>۷</sup>:** یک گره خروجی یا سینگ گره‌ای است که تنها شاخه‌هایی به آن متصل است که به آن وارد می‌شوند. این گره متناظر با یک متغیروابسته است.

**گره مخلوط<sup>۸</sup>:** یک گره مخلوط گره‌ای است که شاخه‌هایی دارد که هم به آن وارد و هم از آن خارج می‌شوند.

**مسیر<sup>۹</sup>:** مسیر یک پیمایش از شاخه‌های متصل در جهت پیکانهای شاخه است. اگر هیچ گره‌ای بیش از یکبار قطع نشود، مسیر باز است. اگر مسیر در گره‌ای که آغاز شده است، خاتمه یابد و هیچ گره‌ای دیگری بیش از یک بار قطع نشود، مسیر بسته است. اگر مسیری بعضی از گره‌ها را بیش از یک بار قطع کند و در گره‌ای غیر از گره‌ای که از آن آغاز کرده خاتمه یابد، نه باز است و نه بسته.

1- Node	2- Transmittance
3-Branch	4- Input node
5- Source	6- Output node
7- Sink	8- Mixed node
9- Path	

حلقه<sup>۱</sup>: مسیر بسته را حلقه گویند.

بهره حلقه<sup>۲</sup>: بهره حلقه حاصلضرب انتقالهای شاخه یک حلقه است.

حلقه‌های مجزا<sup>۳</sup>: حلقه‌ها را مجزا گویند اگر گره مشترکی نداشته باشند.

مسیر پیشرو<sup>۴</sup>: مسیر پیشرو، مسیری است از یک گره ورودی (منبع) به یک گره خروجی (سینک) بطوریکه هیچ گره‌ای را بیش از یکبار قطع نکند.

بهره مسیر پیشرو<sup>۵</sup>: بهره مسیر پیشرو حاصلضرب انتقالهای شاخه از یک مسیر پیشرو است.

#### مثال ۱-۴-۲

نمودار گذر سیگنال شکل ۱۰-۲ را در نظر بگیرید. در این نمودار گذر سیگنال داریم

مسیرها (به عنوان نمونه):  $x_1 \xrightarrow{a_{21}} x_2 \xrightarrow{a_{32}} x_3 \xrightarrow{a_{23}} x_4$  به  $x_1$  بازگشت به  $x_2$  و  $x_1 \xrightarrow{a_{41}} x_4$  به  $x_1$

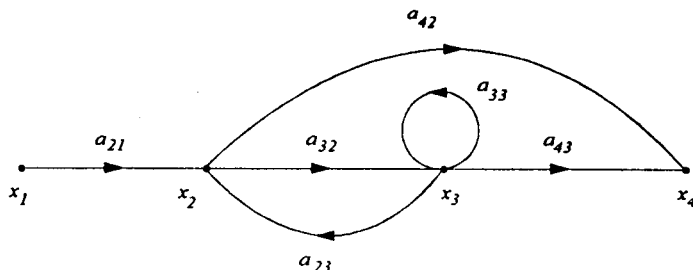
گره ورودی (منبع):  $x_1$

گره خروجی (سینک):  $x_4$

مسیر پیشرو:  $x_1 \xrightarrow{a_{21}} x_2 \xrightarrow{a_{32}} x_3 \xrightarrow{a_{23}} x_4$  و  $x_1 \xrightarrow{a_{41}} x_4$

بهره مسیر: بهره مسیر از  $x_1$  به  $x_2$  به  $x_3$  به  $x_4$  برابر است با  $a_{21}a_{32}a_{23}$

بهره حلقه: بهره حلقه از  $x_2$  به  $x_3$  و بازگشت به  $x_2$  برابر است با  $a_{32}a_{23}$



شکل ۱۰-۲ نمودار گذر سیگنال مثال ۱-۴-۲

1- Loop

2- Loop gain

3- Nontouching loops

4- Forward path

5- Forward path gain

خواص نمودارهای گذر سیگنال. چند خاصیت مهم از نمودارهای گذر سیگنال عبارتند از:

۱- یک شاخه نشان دهنده وابستگی تابعی<sup>۱</sup> یک سیگنال به سیگنال دیگر است. سیگنال تنها در جهتی عبور خواهد کرد که توسط پیکان شاخه مشخص گردیده است.

۲- یک گره، سیگنال‌های کلیه شاخه‌های ورودی به آن را با هم جمع می‌کند و این مجموع را به کلیه شاخه‌هایی که از آن خارج می‌شوند، انتقال می‌دهد.

۳- هر شاخه با انتقال واحد، یک گره مانند  $x_i$  را به گره دیگری، نشان داده شده با  $x_i$  وصل می‌کند. این شاخه‌ها را می‌توان برای تبدیل یک گره مخلوط به یک گره خروجی (سینک) استفاده کرد.

۴- نمودار گذر سیگنال یک سیستم داده شده منحصر بفرد نمی‌باشد. با نوشتен معادلات سیستم به صورتهای مختلف می‌توان نمودارهای گذر سیگنال متفاوتی برای یک سیستم رسم کرد.

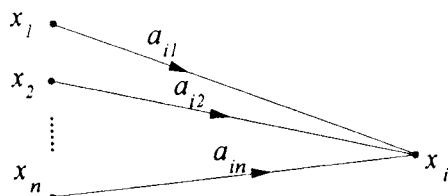
## ۱-۴-۲ جبر نمودار گذر سیگنال

### ۱- قاعده جمع

مقدار متغیر در یک گره برابر است با مجموع کلیه سیگنال‌هایی که به آن گره وارد می‌شوند. به عبارت دیگر، معادله زیر

$$x_i = \sum_{j=1}^n a_{ij} x_j$$

توسط نمودار گذر جریان سیگنال در شکل ۱-۲ نشان داده شده است.

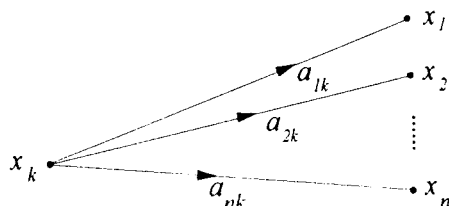


شکل ۱۱-۲ نمودار گذر سیگنال

#### ۲- قاعده انتقال

هنگامی که از یک گره، همانطور که در شکل ۱۲-۲ نشان داده شده است، شاخه‌های خارج شوند، مقدار متغیر در آن گره با ضرب در بهره بین دو گره (تابع تبدیل یا انتقال) به گره بعد انتقال پیدا می‌کند. به عبارت دیگر متغیرهای  $x_1, x_2, \dots, x_n$  در گره‌های نشان داده شده در شکل ۱۲-۲ عبارتند از

$$x_i = a_{ik} x_k \quad (i = 1, \dots, n)$$



شکل ۱۲-۲ نمودار گذر سیگنال (k ثابت) ۱۲-۲

#### ۳- قاعده ضرب

یک اتصال سری از n شاخه با انتقالهای  $a_{n(n-1)}, a_{n(n-2)}, a_{n(n-3)}, \dots, a_{21}$  را می‌توان با یک شاخه، با انتقال جدید برابر با حاصل ضرب کلیه انتقالهای قبلی، جایگزین کرد. یعنی

$$x_n = a_{21} a_{32} a_{43} \dots a_{n(n-1)} x_1$$

برای نمایش تصویری قاعده ضرب به شکل ۱۳-۲ مراجعه کنید.



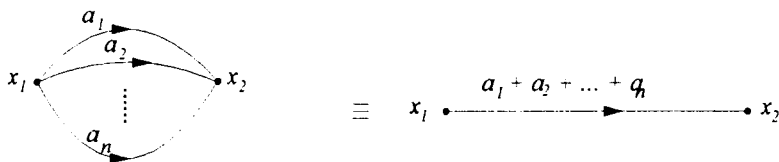
شکل ۱۳-۲ قاعده ضرب

#### ۴- قاعده شاخه‌های موازی

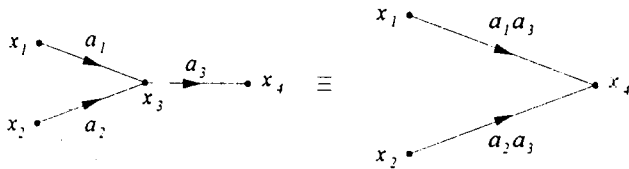
شاخه‌های موازی را می‌توان همانند شکل ۱۴-۲، با جمع کردن انتقالهای آنها با یک شاخه معادل جایگزین کرد.

#### ۵- قاعده حذف گره مخلوط

یک گره مخلوط را می‌توان همانند شکل ۱۵-۲ حذف کرد.



شکل ۱۴-۲ قاعده شاخه‌های موازی



شکل ۱۵-۲ قاعده حذف گره مخلوط

## ۶. قاعده حذف حلقه

یک حلقه را می‌توان همانند شکل ۱۶-۲ حذف کرد. توجه کنید که

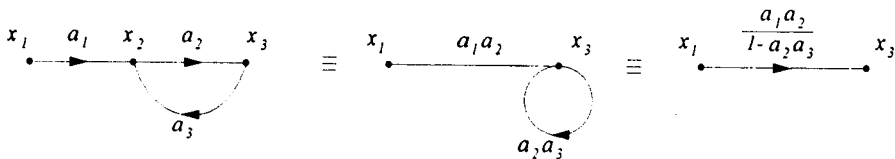
$$x_3 = a_3 x_2, \quad x_2 = a_2 x_1 + a_3 x_3$$

از اینرو

$$x_3 = a_1 a_2 x_1 + a_2 a_3 x_3$$

یا

$$x_3 = \frac{a_1 a_2}{1 - a_2 a_3} x_1$$



شکل ۱۶-۲ قاعده حذف حلقه

## ۲-۴-۲ نمایش نمودار گذر سیگنال سیستم‌های خطی

از نمودارهای گذر سیگنال به طور گسترده‌ای برای تحلیل سیستم‌های خطی استفاده می‌شود. نمودار را می‌توان از معادلات سیستم و یا بطور مستقیم از سیستم فیزیکی ترسیم

کرد. با بکارگیری قواعد جبری بخش ۱-۴-۲ می‌توان رابطه بین متغیر خروجی و ورودی را بدست آورد.

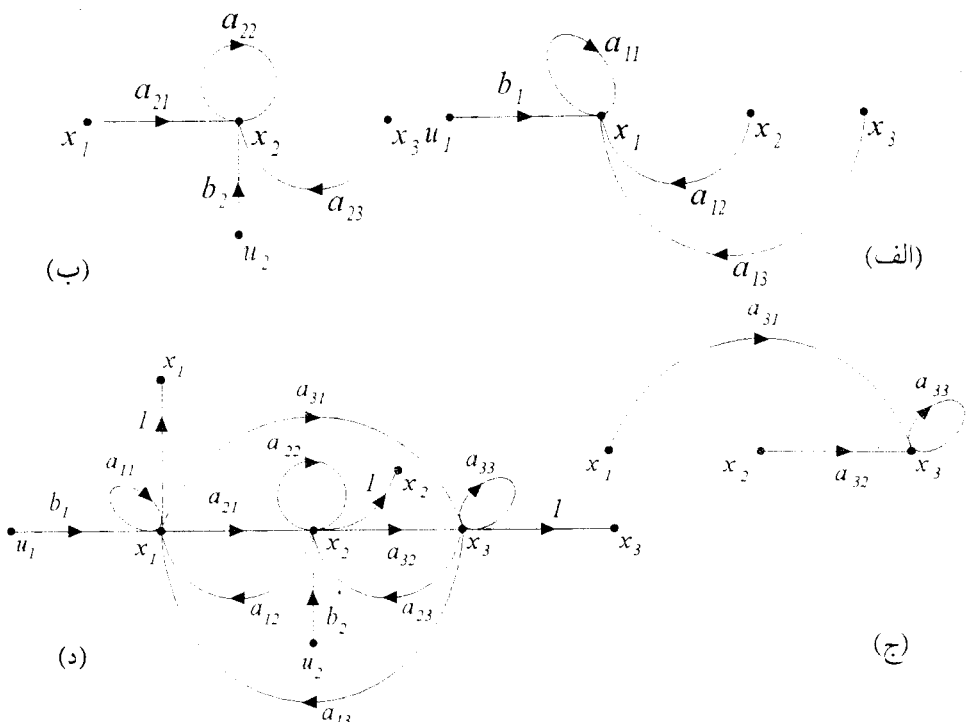
سیستم تعریف شده با مجموعه معادلات زیر را در نظر بگیرید:

$$x_1 = a_{11}x_1 + a_{12}x_2 + a_{13}x_3 + b_1 u_1 \quad (1-4-2)$$

$$x_2 = a_{21}x_1 + a_{22}x_2 + a_{23}x_3 + b_2 u_2 \quad (2-4-2)$$

$$x_3 = a_{31}x_1 + a_{32}x_2 + a_{33}x_3 \quad (3-4-2)$$

که در آن  $u_1$  و  $u_2$  متغیرهای ورودی و  $x_1$ ،  $x_2$  و  $x_3$  متغیرهای خروجی هستند. نمایش نمودار گذر سیگنال سیستمی که با این معادلات توصیف شده است را می‌توان به صورت زیر بدست آورد: نخست گرههای  $x_1$ ،  $x_2$  و  $x_3$  را مانند شکل ۱۷-۲ (الف) جایابی کنید. توجه کنید که  $a_{ij}$



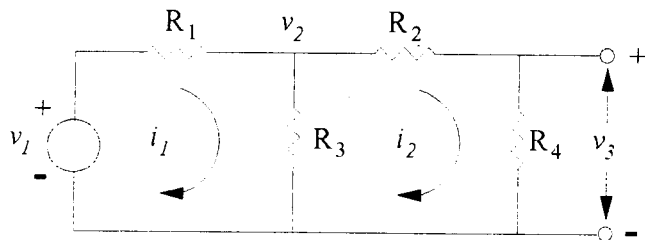
شکل ۱۷-۲ نمودارهای گذر سیگنال نشان دهنده (الف) معادله (۱-۴-۲)، (ب) معادله (۲-۴-۲)، (ج) معادله (۳-۴-۲)؛ (د) نمودار گذر سیگنال کامل نشان دهنده سیستم تعریف شده با معادلهای (۱-۴-۲) تا (۳-۴-۲).

انتقال بین  $x_1$  و  $x_2$  است. توجه کنید که معادله (۲-۴-۱) بیان می‌دارد که  $x_1$  برابر با مجموع چهار سیگنال  $a_{11}x_1$ ،  $a_{12}x_2$ ،  $a_{21}x_3$  و  $a_{22}x_4$  است. نمودار گذر سیگنال نشان دهنده این معادله در شکل ۱۷-۲ (الف) نشان داده شده است. معادله (۲-۴-۲) بیان می‌دارد که  $x_2$  برابر با مجموع  $a_{21}x_1$ ،  $a_{22}x_2$ ،  $a_{31}x_3$  و  $a_{32}x_4$  است. نمودار گذر سیگنال متناظر در شکل ۱۷-۲ (ب) نشان داده شده است. به طور مشابهی، نمودار گذر سیگنال متناظر با معادله (۳-۴-۲) در شکل ۱۷-۲ (ج) نشان داده شده است.

نمودار گذر سیگنال نشان دهنده معادله‌های (۱-۴-۲)، (۲-۴-۲) و (۳-۴-۲) با ترکیب شکل‌های ۱۷-۲ (الف)، (ب) و (ج) بدست می‌آید. سرانجام، نمودار گذر سیگنال کامل برای دستگاه معادلات داده شده در شکل ۱۷-۲ (د) نشان داده شده است.

#### ۲-۴-۲ مثال

یک نمودار گذر سیگنال برای سیستم نشان داده شده در شکل ۱۸-۲ رسم کنید. همانطور که از شکل ۱۸-۲ مشاهده می‌شود، این سیستم چهار متغیر دارد که عبارتند از:  $v_1$ ،  $v_2$ ،  $v_3$  و  $v_4$ .



شکل ۲-۴-۲ سیستم مثال ۱۸-۲

۴-۲ معادلات حاکم بر این سیستم عبارتند از:

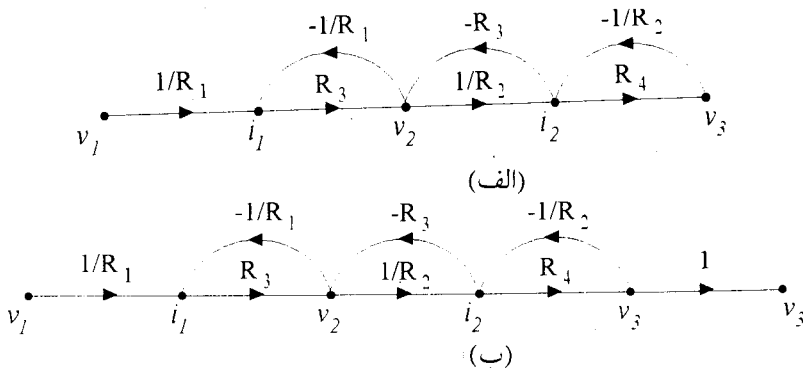
$$i_1 = \left( \frac{1}{R_1} \right) v_1 - \left( \frac{1}{R_1} \right) v_2$$

$$v_2 = R_2 i_1 - R_2 i_2$$

$$i_2 = \left( \frac{1}{R_2} \right) v_2 - \left( \frac{1}{R_2} \right) v_3$$

$$v_3 = R_3 i_2 - R_3 i_4$$

دقیت کنید که معادله‌ای برای ۱، گره ورودی، نوشته نشده است. با قرار دادن پیچ گره برای چهار متغیر و یک گره ورودی و وصل کردن شاخه‌های مناسب از معادلات حاکم بر سیستم، نمودار گذر سیگنال نشان داده شده در شکل ۱۹-۲ (الف) بدست خواهد آمد. اگر بخواهیم ۷ را به صورت یک گره خروجی نشان دهیم، با اضافه کردن یک شاخه با انتقال واحد، نمودار گذر سیگنال نشان داده شده در شکل ۱۹-۲ (ب) بدست خواهد آمد.



شکل ۱۹-۲ نمودار گذر سیگنال سیستم شکل ۱۸-۲

فرمول بهره میسن برای نمودارهای گذر سیگنال، در بسیاری از کاربردهای عملی و صنعتی، مطلوب است که تابع تبدیل (وابطه بین ورودی و خروجی) سیستم را با بکارگیری نمودار گذر سیگنال آن بدست آوریم. در نمودار گذر سیگنال، انتقال بین گره ورودی و گره خروجی، بهره کلی یا انتقال کلی نمودار بین دو گره است. برای پیدا کردن این انتقال یا بهره می توان از عملیات جبری ارایه شده در بخش ۱-۴-۲ برای کاهش نمودار گذر سیگنال استفاده کرد.

لیکن برای نمودارهای گذر سیگنال با تعداد زیادی گره، شاخه و حلقه، این کار مشکل شده و احتمال اشتباه در محاسبات بسیار بالا می‌رود. یک راه حل عملی و سیستماتیک برای این مسئله، استفاده از فرمول بهره میسن<sup>۱</sup> است.

فرمول بهره میسن، به صورت زیر است

$$P = \frac{1}{\Delta} \sum_k P_k \Delta_k \quad (1-4-2)$$

1- Mason's gain formula

که در آن

$P_k =$  بهره مسیر یا انتقال  $k$  امین مسیر پیش رو

$\Delta =$  دترمینان نمودار

$=$  (مجموعه کلیه بهره های تک حلقه های مجزا) - ۱

(مجموع حاصلضریب های بهره کلیه ترکیبی های ممکن از دو حلقه های مجزا) +

(مجموع حاصلضریب های بهره کلیه ترکیبی های ممکن از سه حلقه های مجزا) - ...

$$= 1 - \sum_a L_a + \sum_{b,c} L_b L_c - \sum_{d,e,f} L_d L_e L_f + \dots$$

مجموع کلیه بهره های تک حلقه های مجزا =  $\sum_a L_a$

مجموع حاصلضریب های بهره کلیه ترکیبی های ممکن از دو حلقه های مجزا =  $\sum_{b,c} L_b L_c$

مجموع حاصلضریب های بهره کلیه ترکیبی های ممکن از سه حلقه های مجزا =  $\sum_{d,e,f} L_d L_e L_f$

کوفاکتور<sup>۱</sup>، دترمینان  $k$  امین مسیر پیش رو نمودار، پس از حذف حلقه هایی است

که با آن مسیر پیش رو گره مشترک دارند. یعنی آنکه، کوفاکتور  $\Delta_k$  از  $\Delta$  بعد از حذف حلقه هایی که مسیر  $P_k$  را قطع می کنند، بدست می آید.

توجه کنید که جمعهای بالا بروی کلیه مسیر های ممکن از ورودی به خروجی گرفته شده است. برخلاف آنکه ممکن است استفاده از این فرمول در اولین بروخورد مشکل به نظر رسد، با اندکی تمرین مشخص خواهد شد که کاربرد آن بسیار ساده تر است از آنچه که به نظر می رسد. به مثالهای زیر برای روشنتر شدن این مطلب توجه کنید.

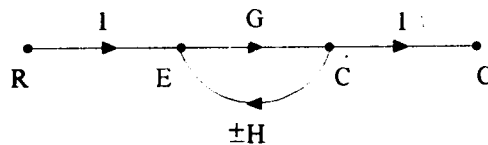
### مثال ۳-۴-۲

سیستم فیدبک نشان داده شده در شکل ۲-۲۰ را در نظر بگیرید. در این شکل برای  $H$  فیدبک مثبت و برای  $-H$  فیدبک منفی خواهیم داشت. در این نمودار تنها یک مسیر پیش رو وجود دارد. از این رو

$$P_1 = G$$

و لذا  $P_2 = P_3 = \dots = P_r = 0$ . هم چنین تنها یک حلقه وجود دارد. بنابراین

$$L_1 = \pm GH$$



شکل ۲۰-۲ نمودار گذر سیگنال مثال ۳-۴-۲

واضح است که در این مثال  $L_s = L_r = \dots = L$  دترمینان نمودار عبارتست از

$$\Delta = 1 - (L_s)$$

$$= 1 \mp GH$$

کوفاکتور  $\Delta_1$  از  $\Delta$  بعد از حذف حلقه‌ایی که مسیر  $P_1$  را قطع می‌کند (با آن گره مشترک دارند)، بدست می‌آید. بنابراین

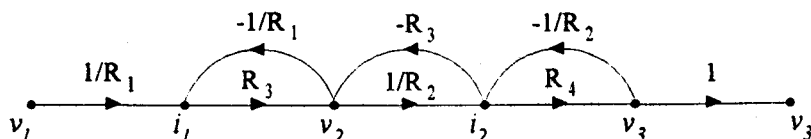
$$\Delta_1 = 1$$

سرانجام، تابع تبدیل حلقه - بسته  $C(s)/R(s)$  عبارتست از

$$\frac{C(s)}{R(s)} = P = \frac{1}{\Delta} (P_1 \Delta_1) \\ = \frac{G}{1 \mp GH}$$

#### مثال ۴-۴-۲

نمودار گذر سیگنال سیستم مثال ۳-۴-۲ که در شکل ۱۸-۲ رسم شده است را در نظر بگیرید. این نمودار گذر سیگنال، در شکل ۲۱-۲ داده شده است. با استفاده از نمودار شکل ۲۱-۲ تابع تبدیل حلقه - بسته را تعیین کنید.



شکل ۲۱-۲ نمودار گذر سیگنال مثال ۴-۴-۲

در اینجا مطلوب است که بهره ولتاژ  $G = v_3/v_1$  را تعیین کنیم. در این نمودار تنها یک مسیر پیش رو نشان داده شده در شکل ۲۲-۲ وجود دارد.

از شکل ۲۲-۲ داریم که بهره مسیر پیشرو عبارتست از

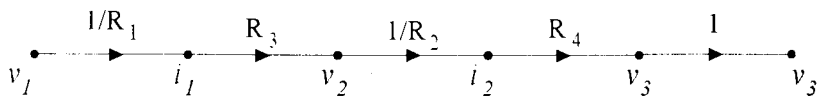
$$P_1 = \frac{1}{R_1} \cdot R_2 \cdot \frac{1}{R_2} \cdot R_4$$

$$= \frac{R_2 R_4}{R_1 R_2}$$

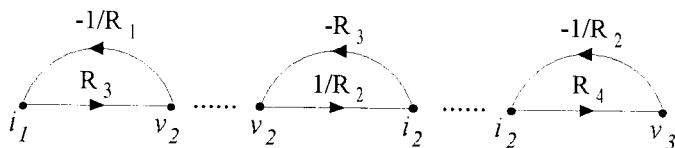
در این گراف سه حلقه به صورت نشان داده شده در شکل ۲۳-۲ وجود دارد

بهره‌های حلقه‌های گراف از شکل ۲۳-۲ عبارتند از:

$$L_1 = -\frac{R_2}{R_1} \quad L_2 = -\frac{R_2}{R_2} \quad L_3 = -\frac{R_4}{R_2}$$



شکل ۲۲-۲



شکل ۲۳-۲

همانطور که از شکل ۲۱-۲ مشاهده می‌شود، تنها دو حلقه غیر محزا وجود دارد (دو حلقه که

گره مشترکی ندارند) و لذا داریم

$$L_1 L_2 = \frac{R_2 R_4}{R_1 R_2}$$

بنابراین، دترمینان نمودار  $\Delta$  عبارتست از:

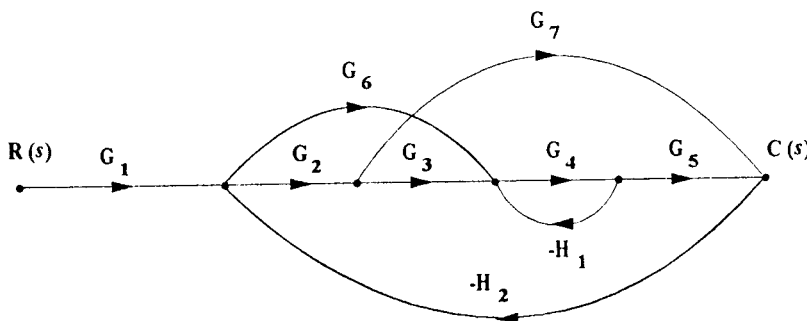
$$\begin{aligned} \Delta &= 1 - (L_1 + L_2 + L_3) + L_1 L_2 \\ &= 1 + \frac{R_2}{R_1} + \frac{R_2}{R_2} + \frac{R_4}{R_2} + \frac{R_2 R_4}{R_1 R_2} \\ &= \frac{R_1 R_2 + R_1 R_2 + R_1 R_4 + R_2 R_3 + R_2 R_4}{R_1 R_2} \end{aligned}$$

از آنجاییکه کلیه حلقه‌ها مسیر پیشرو  $P_i$  را قطع می‌کنند،  $\Delta_i = \Delta$ . سرانجام

$$\frac{P_1 \Delta_1}{\nu_1} = \frac{\Delta_1}{\Delta} = \frac{R_1 R_4}{R_1 R_2 + R_1 R_3 + R_2 R_4 + R_2 R_3 + R_3 R_4}$$

#### مثال ۴-۲

سیستم نشان داده شده در شکل ۴-۲ را در نظر بگیرید.تابع تبدیل حلقه بسته  $C(s)/R(s)$  را با استفاده از قانون بهره میسن بدست آورید.



شکل ۴-۲ نمودار گذر سیگنال برای سیستم مثال ۴-۲

در این سیستم، سه مسیر پیشرو بین ورودی  $R(s)$  و خروجی  $C(s)$  وجود دارد. بهره‌های مسیر پیشرو عبارتند از

$$P_1 = G_1 G_2 G_3 G_4 G_5$$

$$P_2 = G_1 G_5 G_4 G_5$$

$$P_3 = G_1 G_2 G_V$$

در نمودار گذر سیگنال نشان داده شده، چهار حلقه وجود دارد و بهره‌های آنها عبارتند از

$$L_1 = -G_4 H_1$$

$$L_2 = -G_2 G_V H_2$$

$$L_3 = -G_5 G_4 G_3 H_2$$

$$L_4 = -G_2 G_3 G_4 G_5 H_2$$

توجه کنید که دو حلقه  $L_1$  و  $L_3$  حدیدیگر را قطع نمی‌کنند (و یا گره مشترکی ندارند). از این‌رو، دترمینان  $\Delta$  بدین صورت داده می‌شود

$$\Delta = 1 - (L_1 + L_2 + L_3 + L_4) + L_1 L_2$$

کوفاکتور  $\Delta_1$  با حذف حلقه‌هایی که مسیر  $P_1$  را قطع می‌کنند، بدست می‌آید. بنابراین، با حذف  $L_1$ ,  $L_2$ ,  $L_3$  و  $L_4$ ، بدست می‌آوریم

$$\Delta_1 = 1$$

به طور مشابهی، کوفاکتور  $\Delta_2$  عبارتست از

$$\Delta_2 = 1$$

کوفاکتور  $\Delta_3$  با حذف حلقه‌هایی که مسیر  $P_2$  را قطع می‌کنند، بدست می‌آید. بنابراین، با حذف  $L_2$ ,  $L_3$  و  $L_4$ ، داریم

$$\Delta_3 = 1 - L_1$$

تابع تبدیل حلقه - بسته  $C(s)/R(s)$  عبارتست از

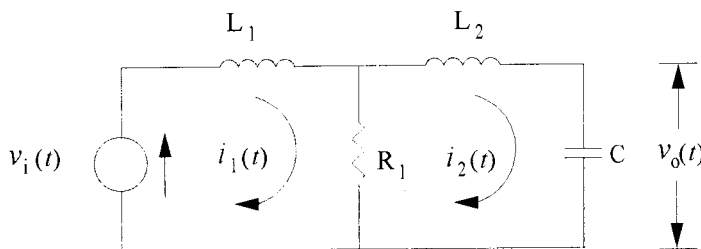
$$\begin{aligned} \frac{C(s)}{R(s)} &= P = \frac{1}{\Delta} (P_1 \Delta_1 + P_2 \Delta_2 + P_3 \Delta_3) \\ &= \frac{G_1 G_2 G_3 G_4 G_5 + G_1 G_2 G_4 G_5 + G_1 G_3 G_4 G_5 (1 + G_4 H_1)}{1 + G_4 H_1 + G_2 G_3 H_2 + G_2 G_4 G_5 H_2 + G_2 G_3 G_4 G_5 H_2 + G_4 H_1 G_2 G_3 H_2} \end{aligned}$$

## ۵-۲ توصیف فضای حالت سیستم‌های کنترل

در بخش‌های قبل به توصیف ورودی - خروجی سیستم به صورت تابع تبدیل در حوزه  $s$  پرداختیم. مدل‌سازی سیستم با تابع تبدیل، براساس معادلات دیفرانسیل توصیف کننده رابطه بین ورودی و خروجی اجزاء دینامیکی تشکیل دهنده سیستم است. هدف از این بخش معرفی متغیر دیگری به نام حالت سیستم است و با بکارگیری این متغیر، توصیف فضای حالت سیستم را ارایه خواهیم کرد.

برای مثالی از حالت یک سیستم، یک مسابقه فوتبال را در نظر بگیرید، که در آن ورودی سیستم تلاشی است که تیم‌ها در بازی بکار می‌برند. خروجی نیز تعداد گلهای بدست آمده در پایان مسابقه است. یک انتخاب برای حالت سیستم می‌تواند نتیجه مسابقه در هر لحظه از زمان در طول مسابقه باشد. همانطور که مشخص است از رابطه ورودی - خروجی سیستم تنها یک دیدکلی از مسابقه پیدا می‌کنیم، در حالیکه با بکارگیری حالت سیستم می‌توان از جزئیات مسابقه در هر لحظه از زمان در طول مسابقه اطلاع پیدا کرد. برای مثال دیگر، مدار RLC شکل

۲۵-۲ را در نظر بگیرید. از روش‌های بخش‌های قبل می‌توان یک رابطه ورودی - خروجی برای این مدار با ورودی  $v_i(t)$  و خروجی  $v_o(t)$  پیدا کرد و تابع تبدیل آنرا تعیین نمود. این تابع تبدیل تنها تغییرات  $i_1(t)$  را برای ولتاژ‌های مختلف  $v_i(t)$  نشان خواهد داد. لیکن با مشاهده این رابطه نمی‌توان به تغییرات جریان‌های ورودی  $i_1(t)$  و  $i_2(t)$  در دو حلقه مدار پی برد. در واقع برای زیر نظر داشتن تغییرات جریان‌های دو حلقه (که به عنوان متغیرهای حالت سیستم



شکل ۲۵-۲ مدار RLC

می‌توانند در نظر گرفته شوند) باید از توصیفی از سیستم استفاده نمود که متغیرهایی از داخل و ساختار داخلی سیستم را نیز شامل شود. این چنین امکانی با استفاده از مدل‌سازی فضای حالت بدست خواهد آمد. در حالت کلی "حالت" یک مجموعه از مقادیر است، که اگر همراه با ورودی سیستم معلوم باشد (مقادیر آنها در دسترس باشد)، آنگاه می‌توان از رفتار و تغییرات حالت‌های آینده و خروجی به طور دقیق اطلاع حاصل کرد.

حالت یک سیستم لزوماً منحصر بفرد نیست. برای نمونه، در مثال مسابقه فوتبال متغیرهای حالت می‌توانند روحیات تیم در طول مسابقه باشند و همانطور که در این مثال مشهود است، برخلاف خروجی و ورودی، حالت همیشه یک متغیر قابل اندازه‌گیری نیست. برای یک سیستم می‌توان تعداد بسیار زیادی نمایش فضای حالت در نظر گرفت و این نمایشها به متغیرهای حالت انتخاب شده بستگی خواهند داشت.

در اینجا، حالت<sup>۱</sup>، متغیرهای حالت<sup>۲</sup>، بردار حالت<sup>۳</sup>، و فضای حالت<sup>۴</sup> را تعریف می‌کنیم. حالت. حالت یک سیستم دینامیکی کوچکترین مجموعه از متغیرها (به نام متغیرهای

1- State

2- State variables

3- State vector

4- State space

حالت) است که اطلاع از این متغیرها در زمان  $t = 0$  همراه با اطلاع از ورودی برای  $t \geq 0$  رفتار سیستم را برای هر زمان  $t \geq 0$  به طور کامل توصیف می‌کند.

بنابراین، حالت یک سیستم دینامیکی در زمان  $t$  توسط حالت در زمان  $0$  و ورودی برای  $t \geq 0$  به طور منحصر بفردی تعیین می‌شود و مستقل از حالت و ورودی قبل از  $0$  است. در این کتاب  $t$  عموماً برابر صفر در نظر گرفته خواهد شد.

توجه کنید که مفهوم و اینده حالت به هیچ وجه منحصر به سیستم‌های فیزیکی نیست و قابل اعمال به سیستم‌های بیولوژیکی، اقتصادی، اجتماعی و سایر سیستم‌ها نیز است. متغیرهای حالت، متغیرهای داده و حالت سیستم دینامیکی، متغیرهایی هستند که کوچکترین مجموعه متغیرها را تشکیل داده و حالت سیستم دینامیکی را تعیین می‌کنند. اگر حداقل  $n$  متغیر  $x_1, x_2, \dots, x_n$  لازم است تا رفتار یک سیستم دینامیکی را بطور کامل توصیف کند، آنگاه  $n$  چنین متغیرهایی یک مجموعه از متغیرهای حالت هستند.

بردار حالت. اگر  $n$  متغیر حالت برای توصیف کامل رفتار یک سیستم داده شده کافی باشد، آنگاه این  $n$  متغیرهای حالت را می‌توان به صورت  $n$  مولفه‌های یک بردار  $\mathbf{x}$  در نظر گرفت. این چنین برداری را یک بردار حالت می‌نامند. بنابراین، بردار حالت برداری است که حالت سیستم  $(t)$  را برای زمان  $t > 0$  با دادن حالت در  $t = 0$  و ورودی  $(t)$  برای  $t > 0$  بطور منحصر بفردی تعیین می‌کند.

فضای حالت. فضای  $n$ -بعدی که محورهای مختصات آن شامل محور  $x_1, x_2, \dots, x_n$  محور  $\mathbf{x}$  است، فضای حالت نامیده می‌شود. هر حالت در فضای حالت به صورت یک نقطه نمایش داده می‌شود.

## ۱-۵-۲ بدست آوردن معادلات حالت از تابع تبدیل

سیستمی را با یک ورودی و یک خروجی در نظر بگیرید. فرض کنید که خروجی این سیستم نه تنها به ورودی آن بلکه به نرخ تغییر خروجی نیز بستگی داشته باشد. یعنی آنکه

$$(1-5-2) \quad y(t) = \frac{1}{a} \dot{y}(t) - \frac{b}{a} u(t)$$

که در آن  $a$  و  $b$  مقادیر اسکالر،  $(t)$  اخراجی سیستم در زمان  $t$  و  $(t)$  ورودی سیستم در زمان  $t$  است. همچنین  $(t) = \frac{d}{dt} y(t) = Dy(t)$  معادله (۱-۵-۲) را به صورت زیر نیز می‌توان

نوشت

$$\dot{y}(t) = ay(t) + bu(t) \quad (2-5-2)$$

حال اگر حالت  $x_1(t)$  را به صورت خروجی  $y(t)$  تعریف کنیم، آنگاه

$$\dot{x}_1(t) = ax_1(t) + bu(t) \quad (3-5-2)$$

$$y(t) = x_1(t) \quad \text{و}$$

معادلات بالا یک صورت بسیار ساده از معادلات حالت و خروجی و یا توصیف فضای حالت سیستم می‌باشند. اکنون این توصیف را به حالت‌های کلی تری تعمیم می‌دهیم. نمایش‌های ماتریسی. یک حالت کلی تر از معادله (۲-۵-۲)، عبارت است از

$$D^T y(t) + a_1 D^T y(t) + a_2 D y(t) + a_3 y(t) = b_0 u(t) \quad (4-5-2)$$

اکنون متغیرهای زیر را تعریف کنید

$$x_1(t) = y(t)$$

$$x_2(t) = Dx_1(t) = Dy(t)$$

$$x_3(t) = Dx_2(t) = D^T y(t)$$

آنگاه معادله (۴-۵-۲) را می‌توان به صورت زیر نوشت

$$\begin{bmatrix} \dot{x}_1(t) \\ \dot{x}_2(t) \\ \dot{x}_3(t) \end{bmatrix} = \begin{bmatrix} 0 & 1 & 0 \\ 0 & 0 & 1 \\ -a_3 & -a_2 & -a_1 \end{bmatrix} \begin{bmatrix} x_1(t) \\ x_2(t) \\ x_3(t) \end{bmatrix} + \begin{bmatrix} 0 \\ 0 \\ b_0 \end{bmatrix} u(t) \quad (5-5-2)$$

$$y(t) = [1 \quad 0 \quad 0] \begin{bmatrix} x_1(t) \\ x_2(t) \\ x_3(t) \end{bmatrix} \quad \text{و}$$

یا، به عبارت کلی تر

$$\dot{\mathbf{x}}(t) = A\mathbf{x}(t) + Bu(t) \quad (6-5-2)$$

$$y(t) = C\mathbf{x}(t) + Du(t)$$

که در آن  $A$  ماتریس ضریب بردار حالت  $(t)x$  است که آنرا ماتریس حالت<sup>۱</sup> می‌نامند،  $B$  را ماتریس ورودی<sup>۲</sup>،  $C$  را ماتریس خروجی<sup>۳</sup> و  $D$  را ماتریس انتقال مستقیم<sup>۴</sup> می‌نامند. انتقال مستقیم یک رابطه مستقیم بین خروجی و ورودی سیستم را نشان می‌دهد.

اکنون حالت کلی تر را در نظر می‌گیریم، که در آن مشتقات ورودی نیز در معادله دیفرانسیل سیستم حضور دارند. به عنوان مثال، معادله دیفرانسیل زیر را در نظر بگیرید

$$D^r y(t) + a_r D^{r-1} y(t) + \dots + a_1 D y(t) + a_0 y(t) = b_r D^r u(t) + b_{r-1} D^{r-1} u(t) + \dots + b_1 D u(t) + b_0 u(t) \quad (7-5-2)$$

یا

$$(D^r + a_r D^{r-1} + \dots + a_1 D + a_0)y(t) = (b_r D^r + b_{r-1} D^{r-1} + \dots + b_1 D + b_0)u(t) \quad (8-5-2)$$

اکنون متغیر  $(t)z$  را چنان تعریف می‌کنیم که

$$u(t) = (D^r + a_r D^{r-1} + \dots + a_1 D + a_0)z(t) \quad (9-5-2)$$

$$y(t) = (b_r D^r + b_{r-1} D^{r-1} + \dots + b_1 D + b_0)z(t)$$

و سپس حالتها را می‌توان به صورت زیر تعریف کرد

$$x_1(t) = z(t)$$

$$x_2(t) = Dz(t)$$

$$x_3(t) = D^2 z(t)$$

که نمایشی بدین صورت می‌دهند

$$\dot{x}(t) = \begin{bmatrix} 0 & 1 & 0 \\ 0 & 0 & 1 \\ -a_r & -a_{r-1} & -a_1 \end{bmatrix} x(t) + \begin{bmatrix} 0 \\ 0 \\ 1 \end{bmatrix} u(t) \quad (10-5-2)$$

$$y(t) = \begin{bmatrix} b_r & b_{r-1} & b_1 \end{bmatrix} x(t)$$

که در آن

$$x(t) = \begin{bmatrix} x_1(t) \\ x_2(t) \\ x_3(t) \end{bmatrix}$$

۱- State matrix

۲- Input matrix

۳- Output matrix

۴- Direct transmission

از معادله (۱۱-۵-۲)، مشاهده می شود که صورت کلی تابع تبدیل عبارتست از

$$(D^n + a_{n-1}D^{n-1} + \dots + a_1D + a_0)y(t) = (b_m D^m + b_{m-1}D^{m-1} + \dots + b_1D + b_0)u(t) \quad (11-5-2)$$

که در آن  $n < m$ . در این صورت بردار  $\mathbf{x}$ - بعدی حالت برابر است با

$$\mathbf{x}^T(t) = [x_1(t) \ x_2(t) \ \dots \ x_n(t)]$$

با فرض شرایط اولیه صفر و گرفتن تبدیل لاپلاس از معادله (۱۱-۵-۲)، داریم

$$\frac{Y(s)}{U(s)} = \frac{b_{n-1}s^{n-1} + b_{n-2}s^{n-2} + \dots + b_1s + b_0}{s^n + a_{n-1}s^{n-1} + \dots + a_1s + a_0}. \quad (12-5-2)$$

که معادلات حالت و خروجی را در حالت کلی بدین صورت می دهد

$$\begin{bmatrix} \dot{x}_1(t) \\ \dot{x}_2(t) \\ \vdots \\ \dot{x}_{n-1}(t) \\ \dot{x}_n(t) \end{bmatrix} = \begin{bmatrix} 0 & 1 & 0 & \dots & 0 \\ 0 & 0 & 1 & \dots & 0 \\ \vdots & \vdots & \vdots & \ddots & \vdots \\ 0 & 0 & 0 & \dots & 1 \\ -a_0 & -a_1 & -a_2 & \dots & -a_{n-1} \end{bmatrix} \begin{bmatrix} x_1(t) \\ x_2(t) \\ \vdots \\ x_{n-1}(t) \\ x_n(t) \end{bmatrix} + \begin{bmatrix} 0 \\ 0 \\ \vdots \\ 0 \\ 1 \end{bmatrix} u(t) \quad (13-5-2)$$

$$y(t) = [b_0 \ b_1 \ \dots \ b_{n-2} \ b_{n-1}] \begin{bmatrix} x_1(t) \\ x_2(t) \\ \vdots \\ x_{n-1}(t) \\ x_n(t) \end{bmatrix}$$

توجه کنید که معادلات بالا، تنها یک نمایش از تعداد بی شماری نمایش‌های ممکن فضایی حالت تابع تبدیل (۱۲-۵-۲) است. با نمایش‌های دیگر فضای حالت، در بخش بعد آشنا خواهیم شد. همانطور که قبلاً نیز اشاره شد، نمایش‌های مختلف فضای حالت از سیستم، روش تعریف متغیرهای حالت بستگی دارد.

## مثال ۱-۵-۲

تابع تبدیل سیستمی عبارتست از

$$\frac{Y(s)}{U(s)} = \frac{s^3 + 3s + 5}{s^3 + s^2 + 2s + 1}$$

از معادله‌های (۱۲-۲-۵) و (۱۳-۲-۵)، نمایش فضای حالت این سیستم عبارتست از

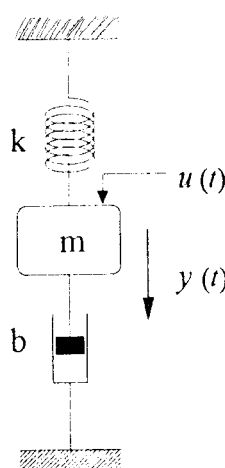
$$\begin{bmatrix} \dot{x}_1(t) \\ \dot{x}_2(t) \\ \dot{x}_3(t) \end{bmatrix} = \begin{bmatrix} 0 & 1 & 0 \\ 0 & 0 & 1 \\ -1 & -2 & -1 \end{bmatrix} \begin{bmatrix} x_1(t) \\ x_2(t) \\ x_3(t) \end{bmatrix} + \begin{bmatrix} 0 \\ 0 \\ 1 \end{bmatrix} u(t)$$

و

$$y(t) = \begin{bmatrix} 5 & 3 & 1 \end{bmatrix} \begin{bmatrix} x_1(t) \\ x_2(t) \\ x_3(t) \end{bmatrix}$$

## مثال ۲-۵-۲

سیستم مکانیکی نشان داده شده در شکل ۲-۲۶ را در نظر بگیرید. در این سیستم ( $u(t)$ ) خروجی سیستم (نیروی خارجی) و ( $y(t)$ ) (جایجاوی فنر) می‌باشد.



شکل ۲-۲۶ سیستم مکانیکی.

از قانون دوم نیوتون، معادله دیفرانسیل سیستم به صورت زیر است

$$m D^2 y + b D y + k y = u$$

با تعریف متغیرهای حالت به صورت زیر

$$x_1(t) = y(t)$$

$$x_2(t) = \dot{y}(t)$$

بدست می‌آوریم

$$\dot{x}_1 = x_2$$

$$\dot{x}_2 = -\frac{1}{m}(-k y - b \dot{y}) + \frac{1}{m} u$$

یا

$$\dot{x}_1 = x_2$$

$$\dot{x}_2 = -\frac{k}{m}x_1 - \frac{b}{m}x_2 + \frac{1}{m}u$$

معادله خروجی نیز عبارتست از

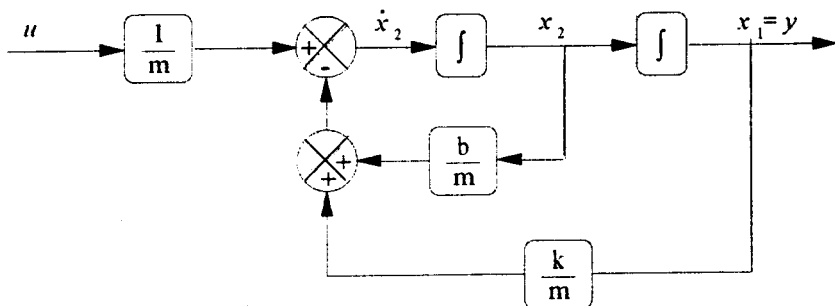
$$y = x_1$$

بنابراین معادله حالت و خروجی سیستم با تعریف بردار حالت  $x^T(t) = [x_1(t) \ x_2(t)]$  به صورت زیر است

$$\dot{x}(t) = \begin{bmatrix} 0 & 1 \\ -\frac{k}{m} & -\frac{b}{m} \end{bmatrix} x(t) + \begin{bmatrix} 0 \\ \frac{1}{m} \end{bmatrix} u(t)$$

$$y(t) = \begin{bmatrix} 1 & 0 \end{bmatrix} x(t)$$

دیاگرام بلوکی سیستم در شکل ۲۷-۲ رسم شده است.



شکل ۲۷-۲ دیاگرام بلوکی سیستم نشان داده شده در شکل ۲۶-۲

در دو مثال قبل، معادلات حالت و خروجی بدست آمده (توصیف فضای حالت سیستم)

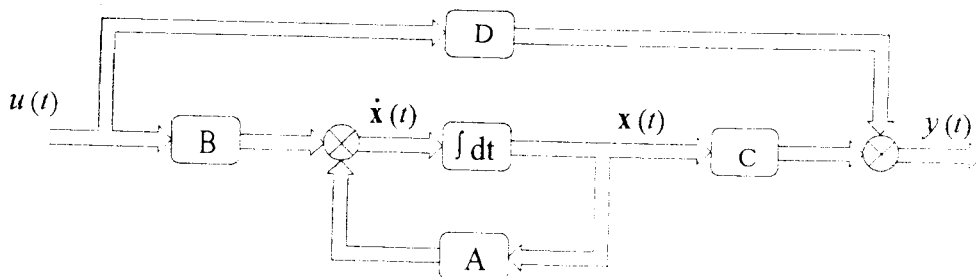
به صورت کلی زیر هستند

$$\dot{\mathbf{x}}(t) = \mathbf{A}\mathbf{x}(t) + \mathbf{B}\mathbf{u}(t) \quad (14-5-2)$$

$$\mathbf{y}(t) = \mathbf{C}\mathbf{x}(t) + \mathbf{D}\mathbf{u}(t) \quad (15-5-2)$$

در واقع معادله (۱۴-۵-۲)، معادله حالت و معادله (۱۵-۵-۲)، معادله خروجی سیستم خطی و تغییرناپذیر با زمان است.

از آنجا که توصیف فضای حالت سیستم توسط متغیرهای حالت آن، از رفتار و ساختار داخلی سیستم نیز تصویری دقیق و روشن به مهندس طراح سیستم کنترل ارایه می‌دهد، آنرا توصیف داخلی<sup>۱</sup> سیستم نیز نامیده‌اند. و از آنجاییکه توصیف تابع تبدیل سیستم تنها یک نمایش ورودی - خروجی از سیستم است، آنرا توصیف خارجی<sup>۲</sup> سیستم نامیده‌اند. یک نمایش دیاگرام بلوکی از سیستم داده شده با معادلات (۱۴-۵-۲) و (۱۵-۵-۲) در شکل ۲۸-۲ نشان داده شده است. در این شکل خطهای دوبل نشان دهنده برداری بودن متغیرها هستند.



شکل ۲۸-۲ دیاگرام بلوکی سیستم خطی زمان پیوسته تغییرناپذیر با زمان

#### ۴-۵-۳ انتخاب متغیرهای حالت

اولین قدم در راه بکارگیری مفاهیم فضای حالت، جهت تحلیل و طراحی سیستم‌های کنترل، انتخاب متغیرهای حالت سیستم است. همانطور که قبلاً اشاره شد، متغیرهای حالت

نشان دهنده ساختار یک سیستم، منحصر بفرد نیست و به هیچ وجه نیز راه منحصر بفردي برای تعین آنها وجود ندارد. اين مطلب را به خوبی در مثال مسابقه فوتبال مشاهده کردیم. دو دسته متغيرهای حالت انتخاب شده در آن مثال به ترتیب، نتیجه مسابقه در طول مسابقه و روحیات تیم در طول مسابقه بودند. هر کدام از این دو دسته متغيرهای حالت به نوبه خود می‌توانند اطلاعات مفیدی از ساختار داخلی مسابقه بدست دهند. در حالت کلی برای سیستم‌های فیزیکی، روش‌های مختلفی برای تعین متغيرهای حالت در دسترس می‌باشند که برای بررسی بیشتر آنها می‌توانید به مراجع و کتابشناسی فصل هفتمن مراجعه نمایید. در اینجا، انتخاب متغيرهای حالت بر اساس متغيرهای فیزیکی<sup>۱</sup> ارایه خواهد شد.

انتخاب متغيرهای حالت در روش متغيرهای فیزیکی بر اساس عناصر نگهدارنده - انرژی<sup>۲</sup> سیستم بنا نهاده شده است. جدول ۱-۲ بعضی از عناصر متداول نگهدارنده - انرژی را که در سیستم‌های فیزیکی وجود دارند، همراه با معادلات انرژی متناظر نشان می‌دهد. متغير فیزیکی در معادله انرژی برای هر عنصر نگهدارنده - انرژی می‌تواند به عنوان متغير حالت سیستم انتخاب شود. البته باید دقت کرد، همانطور که در تعریف متغيرهای حالت یک سیستم در اول بخش آورده شده است، این مجموعه کوچکترین مجموعه متغيرهای لازم برای تعیین حالت می‌باشد. به عبارت دیگر اگر  $n_{x_1, x_2, \dots, x_n}$  متغيرهای حالت یک سیستم باشند، آنگاه  $n$  حداقل تعداد متغيرهای لازم برای توصیف کامل ساختار داخلی آن سیستم خواهد بود. به این چنین مدلی، مدل حالت می‌نیمال گویند. در اکثر کاربردهای عملی، مدل‌های حالت غیر می‌نیمال، ارزش چندانی ندارد. مدل حالت می‌نیمال، با انتخاب متغيرهای فیزیکی ناوایسته به عنوان

جدول ۱-۲ عناصر نگهدارنده - انرژی

متغير فیزیکی	انرژی	عنصر
ولتاژ $v$	$Cv^2/2$	خازن C
جريان $i$	$Li^2/2$	سلف L
سرعت انتقالی $v$	$Mv^2/2$	جرم M
سرعت چرخشی $\omega$	$J\omega^2/2$	ممان اینرسی J
جابجایی $x$	$kx^2/2$	فنر k

متغیرهای حالت، بدست آورده می‌شود. متغیرهای حالت ناوابسته<sup>۱</sup>، متغیرهای حالتی هستند که نمی‌توان آنها را برابر حسب متغیرهای حالت تعیین شده دیگر بیان کرد. به عنوان نمونه اگر برای سه متغیر حالت  $x_1, x_2, x_3$  نوشتند یک متغیر مانند  $x_4$  بر حسب دو متغیر دیگر، مانند  $x_4 = \alpha x_1 + \beta x_2$  و  $\beta$  اسکالارهای غیر صفر)، امکان پذیر باشد این سه متغیر را وابسته و در غیر اینصورت ناوابسته می‌گویند.

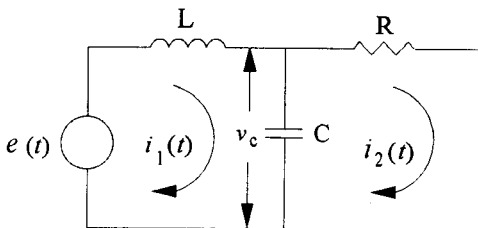
به مثالهای زیر برای تعیین مدل حالت می‌نیمال توجه کنید.

### مثال ۳-۵-۲

سیستم نشان داده شده در شکل ۲۹-۲ را در نظر بگیرید. با انتخاب متغیرهای حالت فیزیکی مناسب، معادلات حالت و خروجی سیستم را بنویسید. ورودی سیستم ولتاژ  $e(t)$  و خروجی آن ولتاژ خازن  $v_c(t)$  است.

معادلات دیفرانسیل حاکم بر مدار عبارتند از

$$\begin{aligned} e(t) &= L \frac{di_1(t)}{dt} + v_c(t) \\ &= Ri_2(t) - v_c(t) \end{aligned}$$



شکل ۲۹-۲ مدار الکتریکی مثال ۳-۵-۲

با انتخاب متغیرهای حالت به صورت  $x_1 = i_1(t)$  و  $x_2 = v_c(t)$ ، از معادله اول داریم

$$\dot{x}_1(t) = -\frac{1}{L}x_2(t) + \frac{1}{L}e(t)$$

معادله ولتاژ خازن عبارتست از

$$v_c(t) = \frac{1}{C} \int (i_1(t) - i_2(t)) dt$$

و بنابراین

$$\frac{dv_c}{dt} = \frac{1}{C} (i_1(t) - i_2(t))$$

$$= \frac{1}{C} \left( i_1(t) - \frac{1}{R} v_c(t) \right)$$

با جایگزینی برای  $v_c(t)$  و  $i_1(t)$ ، بدست می‌آوریم

$$\dot{x}_1(t) = \frac{1}{C} x_1(t) - \frac{1}{RC} x_2(t)$$

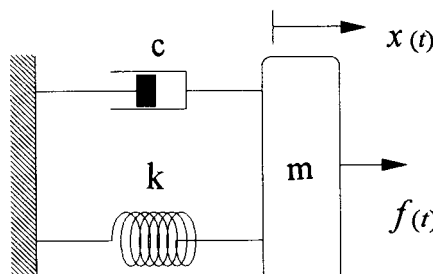
اکنون با نوشتتن معادله بردار ماتریسی برای  $x_1$  و  $x_2$  و با توجه به اینکه  $y(t) = x_1(t)$  داریم

$$\begin{bmatrix} \dot{x}_1(t) \\ \dot{x}_2(t) \end{bmatrix} = \begin{bmatrix} 0 & -\frac{1}{L} \\ \frac{1}{C} & -\frac{1}{RC} \end{bmatrix} \begin{bmatrix} x_1(t) \\ x_2(t) \end{bmatrix} + \begin{bmatrix} 1/L \\ 0 \end{bmatrix} e(t)$$

$$y(t) = \begin{bmatrix} 0 & 1 \end{bmatrix} \begin{bmatrix} x_1(t) \\ x_2(t) \end{bmatrix}$$

#### مثال ۴-۵-۲

سیستم مکانیکی نشان داده شده در شکل ۳۰-۲ را در نظر بگیرید. در این سیستم نیروی ورودی  $f(t)$  است و خروجی سیستم، جابجایی جرم  $x(t)$  است. معادلات حالت و خروجی



شکل ۳۰-۲ سیستم مکانیکی

سیستم را بنویسید. نخست معادله دیفرانسیل حاکم بر سیستم را بدست می‌آوریم. از قانون دوام نیوتون داریم که برایند کلیه نیروهای خارجی عمل کننده بر  $m$ ، برابر با  $mD^2x(t)$  می‌باشد، با فرض آنکه جرم از حالت سکون در  $x=0$  به طرف پایین به حرکت در آورده می‌شود،

نیروهای عملکرنده بر آن از طرف فنر و میرا کننده  $C$ ، در جهت بالا کشیدن آن، به ترتیب عبارتند از  $kx(t)$  و  $Dx(t)$ . بنابراین داریم

$$m \frac{d^2x(t)}{dt^2} = -kx(t) - C \frac{dx(t)}{dt} + f(t)$$

با انتخاب متغیرهای حالت به صورت  $x_1(t) = x(t)$  (جابجایی فنر و جرم) و  $x_2(t) = \dot{x}(t)$  (سرعت جرم)، معادلات حالت و خروجی سیستم عبارت خواهند بود از

$$\begin{bmatrix} \dot{x}_1(t) \\ \dot{x}_2(t) \end{bmatrix} = \begin{bmatrix} 0 & 1 \\ -\frac{k}{m} & -\frac{C}{m} \end{bmatrix} \begin{bmatrix} x_1(t) \\ x_2(t) \end{bmatrix} + \begin{bmatrix} 0 \\ \frac{1}{m} \end{bmatrix} u(t)$$

$$y(t) = \begin{bmatrix} 1 & 0 \end{bmatrix} \begin{bmatrix} x_1(t) \\ x_2(t) \end{bmatrix}$$

### مثال ۵-۵-۲

مدار الکتریکی نشان داده شده در شکل ۳۱-۲ را در نظر بگیرید. معادلات حالت و خروجی آن را برای ورودی جریان و خروجی  $v_1(t)$  بنویسید.

در این مدار پنج عنصر نگهدارنده انرژی وجود دارد. این پنج عنصر عبارتند از سلفهای  $L_1, L_2, L_3$  و خازن‌های  $C_1$  و  $C_2$ . لذا می‌توان پنج متغیر حالت فیزیکی برای آن در نظر گرفت.

معادلات دیفرانسیل حاکم بر مدار عبارتند از

$$v_1(t) = L_1 \frac{d}{dt} i_1(t)$$

$$v_2(t) = L_2 \frac{d}{dt} i_2(t) + v_1(t)$$

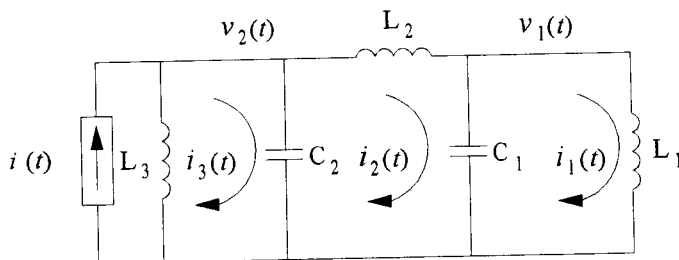
$$v_3(t) = L_3 \frac{d}{dt} i_3(t)$$

$$i_1(t) = C_1 \frac{d}{dt} v_1(t) + i_2(t)$$

$$i_2(t) = i_3(t) + C_2 \frac{d}{dt} v_3(t) + i_4(t)$$

با نوشتن معادله حلقه در برگیرنده  $L_1, L_2, L_3$  و انتگرال گیری از آن داریم

$$L_1 i_1(t) = L_2 i_2(t) + L_3 i_3(t) + k$$



شکل ۳۱-۲ مدار الکتریکی

که در آن ثابت  $k$  تابعی از شرایط اولیه است. این معادله نشان می‌دهد که سه متغیر جریان در سلف‌ها (با فرض معلوم بودن شرایط اولیه)، مستقل نمی‌باشند و در واقع یکی از این جریانها را می‌توان به صورت ترکیب خطی از دیگران نوشت. بنابراین این مدار تنها چهار متغیر حالت فیزیکی نوابسته دارد. این چهار متغیر را به صورت زیر انتخاب می‌کنیم

$$x_1(t) = v_1(t), \quad x_2(t) = v_2(t), \quad x_3(t) = i_1(t), \quad x_4(t) = i_2(t)$$

دقیق کنید که دو متغیر حالت  $x_3(t)$  و  $x_4(t)$  را می‌توانستیم به صورتهای دیگر (به عنوان نمونه با استفاده از  $i_3(t)$  و  $i_4(t)$ ) نیز بنویسیم. با حذف جریان وابسته انتخاب شده  $i_3(t)$  و  $i_4(t)$  استفاده از معادلات مدار (با فرض صفر بودن شرایط اولیه جریانها)، داریم

$$\begin{bmatrix} \dot{x}_1(t) \\ \dot{x}_2(t) \\ \dot{x}_3(t) \\ \dot{x}_4(t) \end{bmatrix} = \begin{bmatrix} 0 & 0 & -\frac{1}{C_1} & \frac{1}{C_1} \\ 0 & 0 & -\frac{L_1}{L_1 C_2} & -\frac{L_1 + L_2}{L_1 C_2} \\ \frac{1}{L_1} & 0 & 0 & 0 \\ -\frac{1}{L_1} & \frac{1}{L_2} & 0 & 0 \end{bmatrix} \begin{bmatrix} x_1(t) \\ x_2(t) \\ x_3(t) \\ x_4(t) \end{bmatrix} + \begin{bmatrix} 0 \\ \frac{1}{C_2} \\ 0 \\ 0 \end{bmatrix} u(t)$$

$$y(t) = \begin{bmatrix} 1 & 0 & 0 & 0 \end{bmatrix} \begin{bmatrix} x_1(t) \\ x_2(t) \\ x_3(t) \\ x_4(t) \end{bmatrix}$$

### ۳-۵-۲ رابطه بین تابع تبدیل و معادلات فضای حالت

در اینجا نشان خواهیم داد که چگونه از معادله فضای حالت، تابع تبدیل یک سیستم را بدست می آوریم. یک سیستم با تابع تبدیل زیر را در نظر بگیرید

$$\frac{Y(s)}{U(s)} = G(s) \quad (16-5-2)$$

این سیستم می تواند با معادلات زیر در فضای حالت نمایش داده شود:

$$\dot{x}(t) = Ax(t) + Bu(t) \quad (17-5-2)$$

$$y(t) = Cx(t) + Du(t) \quad (18-5-2)$$

که در آن  $x(t)$  بردار حالت،  $u(t)$  ورودی، و  $y(t)$  خروجی است. تبدیل لاپلاس معادله های

(۱۷-۵-۲) و (۱۸-۵-۲) عبارتست از

$$sX(s) - x(0) = AX(s) + BU(s) \quad (19-5-2)$$

$$Y(s) = CX(s) + DU(s) \quad (20-5-2)$$

با توجه به اینکه تابع تبدیل برای شرایط اولیه صفر تعریف شده است، لذا در معادله (۱۹-۵-۲)،  $x(0)$  را برابر صفر قرار می دهیم. آنگاه داریم

$$sX(s) - AX(s) = BU(s) \quad \text{یا}$$

$$(sI - A)X(s) = BU(s)$$

با پیش ضرب کردن طرفین معادله در  $(sI - A)^{-1}$ ، بدست می آوریم

$$X(s) = (sI - A)^{-1}BU(s) \quad (21-5-2)$$

جایگزینی معادله (۲۱-۵-۲) در معادله (۲۰-۵-۲)، می دهد

$$Y(s) = [C(sI - A)^{-1}B + D]U(s) \quad (22-5-2)$$

با مقایسه معادله های (۲۲-۵-۲) و (۱۶-۵-۲)، داریم

$$G(s) = C(sI - A)^{-1}B + D \quad (23-5-2)$$

این معادله، رابطه بین تابع تبدیل سیستم و ماتریس های  $A$ ,  $B$ ,  $C$  و  $D$  را نشان می دهد.

### مثال ۴-۵-۲

سیستم مکانیکی نشان داده شده در شکل ۲۶-۲ را در نظر بگیرید. معادله های فضای

حالت این سیستم در مثال ۲-۵-۲ بدست آورده شده‌اند. از مثال ۲-۵-۲، داریم

$$A = \begin{bmatrix} 0 & 1 \\ -\frac{k}{m} & -\frac{b}{m} \end{bmatrix}, \quad B = \begin{bmatrix} 0 \\ \frac{1}{m} \end{bmatrix}, \quad C = \begin{bmatrix} 1 & 0 \end{bmatrix}, \quad D = 0.$$

با جایگزینی A, B, C و D در معادله (۲۳-۵-۲)، بدست می‌آوریم

$$\begin{aligned} G(s) &= C(sI - A)^{-1}B + D \\ &= \begin{bmatrix} 1 & 0 \end{bmatrix} \left\{ \begin{bmatrix} s & 0 \\ 0 & s \end{bmatrix} - \begin{bmatrix} 0 & 1 \\ -\frac{k}{m} & -\frac{b}{m} \end{bmatrix} \right\}^{-1} \begin{bmatrix} 0 \\ \frac{1}{m} \end{bmatrix} + 0 \\ &= \begin{bmatrix} 1 & 0 \end{bmatrix} \begin{bmatrix} s & -1 \\ \frac{k}{m} & s + \frac{b}{m} \end{bmatrix}^{-1} \begin{bmatrix} 0 \\ \frac{1}{m} \end{bmatrix} \end{aligned}$$

از آنجاییکه

$$\begin{bmatrix} s & -1 \\ \frac{k}{m} & s + \frac{b}{m} \end{bmatrix}^{-1} = \frac{1}{s^2 + \frac{b}{m}s + \frac{k}{m}} \begin{bmatrix} s + \frac{b}{m} & 1 \\ -\frac{k}{m} & s \end{bmatrix}$$

داریم

$$\begin{aligned} G(s) &= \begin{bmatrix} 1 & 0 \end{bmatrix} \frac{1}{s^2 + \frac{b}{m}s + \frac{k}{m}} \begin{bmatrix} s + \frac{b}{m} & 1 \\ -\frac{k}{m} & s \end{bmatrix} \begin{bmatrix} 0 \\ \frac{1}{m} \end{bmatrix} \\ &= \frac{1}{ms^2 + bs + k} \end{aligned}$$

که تابع تبدیل سیستم است. توجه کنید که این تابع تبدیل را می‌توانستیم مستقیماً از معادله دیفرانسیل سیستم

$$mD^2y + bDy + ky = u$$

پس از گرفتن تبدیل لاپلاس با شرایط اولیه صفر بدست آوریم.

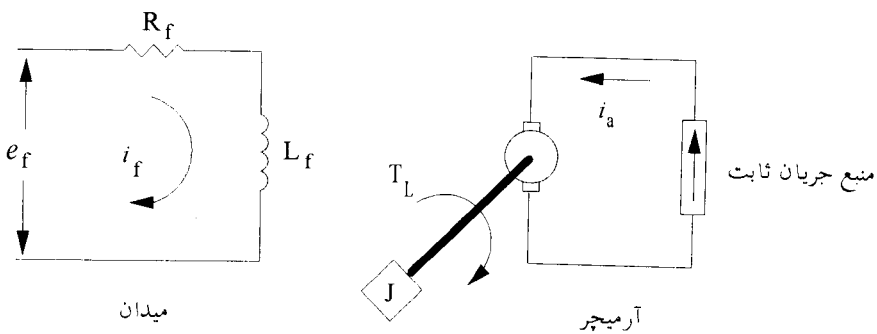
## ۲-۶ مدلسازی موتورهای DC

در این بخش با بکارگیری مفاهیم و ابزار توسعه یافته مدلسازی در بخش‌های قبل، به

مدلسازی موتورهای DC می‌پردازیم. موتورهای DC برای تبدیل کردن یک سیگنال ورودی الکتریکی به یک سیگنال خروجی مکانیکی بکار گرفته می‌شوند. این موتورها از لحاظ نحوه عملکرد به دو دسته کنترل میدان<sup>۱</sup> و کنترل آرمیچر<sup>۲</sup> تقسیم می‌شوند. در اینجا مدلسازی این دو دسته از موتورهای DC مورد بررسی قرار گرفته‌اند.

کنترل میدان. در کنترل میدان، همانطور که در شکل ۳۲-۲ نشان داده شده است، جریان آرمیچر ثابت نگه داشته شده است و در میدان از یک ولتاژ قابل تنظیم به عنوان ورودی به سیستم استفاده می‌شود. ولتاژ اعمال شده به میدان ( $e_f(t)$ ) است. گشتاور ایجاد شده توسط موتور متناسب با حاصلضرب جریان آرمیچر ( $i_a(t)$ )<sup>۳</sup> و فلوی<sup>۴</sup> میدان φ است. بنابراین

$$T(t) = K_f \phi i_a(t) \quad (1-6-2)$$



شکل ۳۲-۲ موتور DC با کنترل میدان

که در آن  $K_f$  برای هر موتوری ثابت است و به مجموع هادیهای آرمیچر، تعداد قطبها میدان و غیره بستگی دارد. ولتاژ اعمال شده به میدان ( $e_f(t)$ ) برای کاربردهای معمولی از خروجی یک آمپلی فایر یا یک ژنراتور DC در کار بردهایی که قدرت بیشتر مورد نیاز است، تأمین می‌گردد. در مدار میدان، مقاومت سیستم پیچها  $R_f$  و هدايت با  $L_f$  نشان داده می‌شوند. یک منحنی از فلو φ بر حسب جریان میدان  $i_a$  در شکل ۳۳-۲ نشان داده شده است. در محدوده‌ای که جریان میدان  $i_a$  به اندازه‌ای نرسیده است که باعث اشباع در میدان شود، رابطه φ

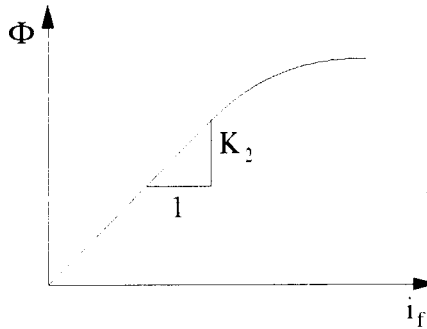
1- Field control

2- Armature control

3- Flux

4- Conductors

و آن خطی است. و بعد از اشباع از رابطه خطی تبعیت نمی‌کند. موتورهای مورد استفاده در سیستم‌های کنترل عموماً بر روی محدوده خطی بالا عمل خواهند کرد. لذا



شکل ۳۴-۲ نمودار فلو بر حسب جریان میدان

$$\phi = K_1 i_f \quad (2-6-2)$$

که در آن  $K_1$  شیب قسمت خطی منحنی نشان داده شده در شکل ۳۴-۲ است. با جایگزینی از معادله (۱-۶-۲) در معادله (۲-۶-۲)، داریم

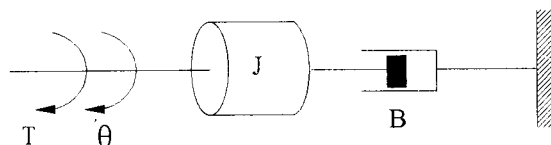
$$T = K_1 K_2 i_a i_f = K_m i_a i_f \quad (3-6-2)$$

که در آن  $K_m = K_1 K_2$

اگر همانطور که در شکل ۳۴-۲ نشان داده شده است، بار از یک ممان اینرسی و میراکننده تشکیل شده باشد و گشتاور بار  $T_L$  باشد، معادله گشتاور آرمیچر به صورت زیر نوشته می‌شود

$$T = BD\theta + JD^3\dot{\theta} + T_L \quad (4-6-2)$$

که در آن  $\theta$  موقعیت زاویه‌ای آرمیچر یا شفت موتور است. معادله ولتاژ مدار میدان عبارت است



شکل ۳۴-۲ مدل مار

$$L_f Di_f + R_f i_f = e_f \quad (5-6-2)$$

$$i_f = \frac{e_f}{R_f(\tau_f D + 1)} \quad (6-6-2)$$

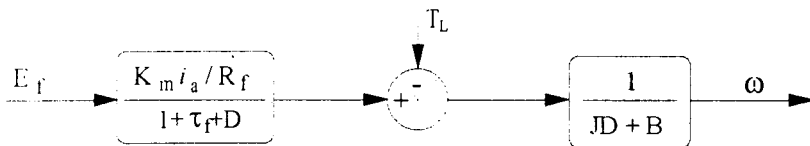
که در آن  $\tau_f = L_f/R_f$  ثابت زمانی مدار میدان است. با جایگزینی  $T$  از معادله (۴-۶-۲) و  $i_f$  از معادله (۶-۶-۲) در معادله (۳-۶-۲) و به دست آوردن  $\theta$ ، داریم

$$\theta = \frac{1}{JD + BD} \left[ \frac{(K_m i_a / R_f) e_f}{1 + \tau_f D} - T_L \right] \quad (7-6-2)$$

سرعت زاویه‌ای  $\omega$  را می‌توان با مشتق‌گیری از معادله (۷-۶-۲) بدست آورد

$$\omega = D\theta = \frac{1}{JD + BD} \left[ \frac{(K_m i_a / R_f) e_f}{1 + \tau_f D} - T_L \right] \quad (8-6-2)$$

نمایش دیاگرام بلوکی سیستم در شکل ۳۵-۲ نشان داده شده است.



شکل ۳۵-۲ دیاگرام بلوکی یک موتور DC با کنترل میدان

برای به دست آوردن معادلات فضای حالت با فرض  $\theta = 0$ ، از معادله‌های (۸-۶-۲) و (۹-۶-۲) داریم

$$JD\dot{\theta} = K_m i_a i_f - BD\theta \quad (9-6-2)$$

و

$$e_f = R_f i_f + L_f Di_f \quad (10-6-2)$$

با تعریف متغیرهای حالت  $x_1 = \theta$  و  $x_2 = i_f$  برای اعضاء نگهدارنده انرژی سیستم و  $e_f(t) = u(t)$  معادله‌های فضای حالت زیر را از معادله‌های (۹-۶-۲) و (۱۰-۶-۲) برای سیستم بدست می‌آوریم

$$\begin{bmatrix} \dot{x}_1(t) \\ \dot{x}_2(t) \end{bmatrix} = \begin{bmatrix} -\frac{B}{J} & \frac{K_m i_a}{J} \\ 0 & -\frac{R_f}{L_f} \end{bmatrix} \begin{bmatrix} x_1(t) \\ x_2(t) \end{bmatrix} + \begin{bmatrix} 0 \\ \frac{1}{L_f} \end{bmatrix} u(t) \quad (11-6-2)$$

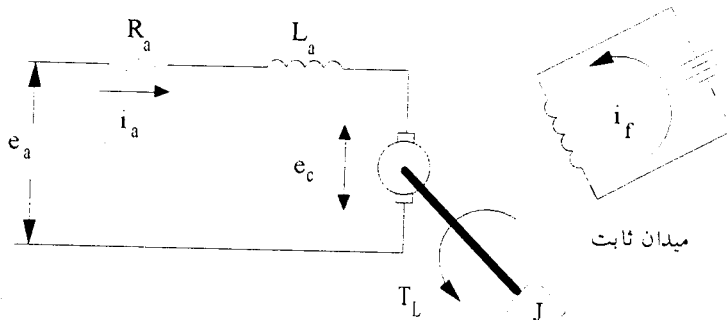
$$y(t) = \begin{bmatrix} 1 & 0 \end{bmatrix} \begin{bmatrix} x_1(t) \\ x_2(t) \end{bmatrix}$$

کنترل آرمیچر. در موتورهای DC با کنترل آرمیچر، سرعت توسط تنظیم ولتاژ اعمال شده به آرمیچر کنترل می‌شود. این ولتاژ معمولاً توسط یک ژنراتور فراهم می‌شود. یک موتور DC با کنترل آرمیچر در شکل ۳۶-۲ نشان داده شده است. هنگامیکه موتور آرمیچر در حال چرخش است ولتاژی برابر  $e_c$  متناسب با حاصلضرب فلو و سرعت القاء می‌شود. از آنجاییکه پلاریته این ولتاژ مخالف ولتاژ اعمال شده است، به آن نیروی محرک الکتریکی بازگشتی یا  $e_{emf}$  برگشتی<sup>۱</sup> می‌گویند. از آنجاییکه جریان میدان ثابت است، فلو ثابت بوده و بنابراین  $e_c$  متناسب با  $\omega$  می‌باشد. بنابراین

$$e_c = K_c \phi \omega \quad (12-6-2)$$

که در آن  $K_c$  یک ثابت است و برای هر موتوری مقداری مشخص دارد. با جایگزینی برای  $\phi$  از معادله (۲-۶-۲) در معادله (۱۲-۶-۲)، داریم

$$e_c = K_c K_t i_f \omega = K_c i_f \omega \quad (13-6-2)$$



شکل ۲-۲ موتور DC با کنترل آرمیچر

که در آن  $K_c = K_r K_\tau$ . معادله ولتاژ برای مدار آرمیچر عبارتست از

$$\begin{aligned} e_a - e_c &= R_a i_a + L_a D i_a \\ &= R_a (\tau_a D + 1) i_a \end{aligned} \quad (14-6-2)$$

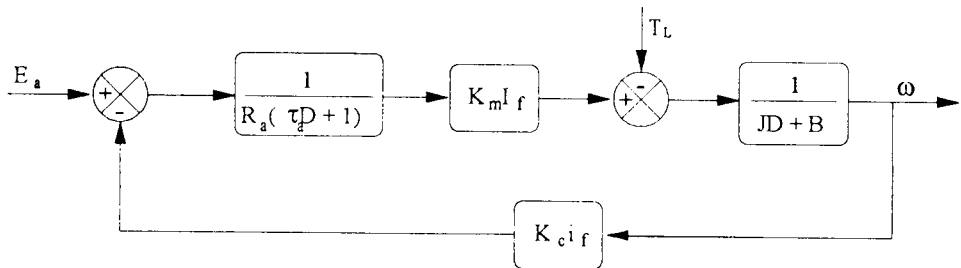
که در آن  $\tau_a = L_a / R_a$ , ثابت زمانی سیستم می‌باشد. گشتاور ایجاد شده توسط موتور عبارتست از

$$T = K_m i_f i_a \quad (15-6-2)$$

و معادله بالا نس گشتاور برای خروجی شفت عبارتست از

$$T = (BD + JD^\dagger) \theta + T_L \quad (16-6-2)$$

از معادله‌های (۱۴-۶-۲)، (۱۵-۶-۲) و (۱۶-۶-۲)، دیاگرام بلوکی سیستم به صورت نشان داده شده در شکل ۳۷-۲ است.



شکل ۳۷-۲ دیاگرام بلوکی یک موتور DC با کنترل آرمیچر

برای بدست آوردن نمایش فضای حالت سیستم، با فرض  $T_L = 0$ ، از معادله‌های (۲-۶-۲) و (۱۴-۶-۲)، همچنین از معادله‌های (۱۵-۶-۲) و (۱۶-۶-۲)، به ترتیب داریم

$$e_a = R_a i_a + L_a D i_a + K_c i_f D \theta \quad (17-6-2)$$

$$K_m i_f i_a = BD\theta + JD^\dagger \theta \quad (18-6-2)$$

با تعریف متغیرهای حالت فیزیکی  $x_1 = i_a$  و  $x_2 = D\theta$  (متغیرهای اعضای نگهدارنده انرژی در سیستم)، از معادله‌های (۱۷-۶-۲) و (۱۸-۶-۲)، بدست می‌آوریم

$$\dot{x}_1(t) = -\frac{K_c i_f}{L_a} x_2(t) - \frac{R_a}{L_a} x_1(t) + \frac{e_a}{L_a} \quad (19-6-2)$$

$$\dot{x}_2(t) = \frac{K_m i_f}{J} x_1(t) - \frac{B}{J} x_2(t) \quad (20-6-2)$$

با متغیرهای  $e_a$  و  $D\theta$  به عنوان متغیرهای ورودی و خروجی سیستم، از معادله‌های  
 $(19-6-2)$  و  $(20-6-2)$  داریم

$$\begin{bmatrix} \dot{x}_1(t) \\ \dot{x}_2(t) \end{bmatrix} = \begin{bmatrix} -\frac{R_a}{L_a} & -\frac{K_e i_f}{L_a} \\ \frac{K_m i_f}{J} & -\frac{B}{J} \end{bmatrix} \begin{bmatrix} x_1(t) \\ x_2(t) \end{bmatrix} + \begin{bmatrix} \frac{1}{L_a} \\ 0 \end{bmatrix} u(t) \quad (21-6-2)$$

$$y(t) = \begin{bmatrix} 1 & 0 \end{bmatrix} \begin{bmatrix} x_1(t) \\ x_2(t) \end{bmatrix}$$

### مسائل

$1-2$ - معادلات دیفرانسیل و شرایط اولیه حاکم بر سیستمی عبارتند از:

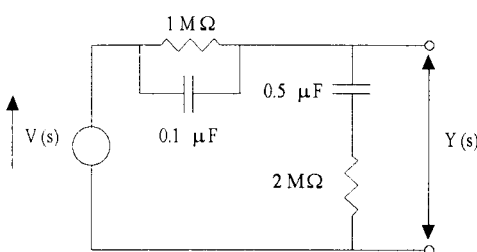
$$y(0) = 1, \quad Dy(0) = 4, \quad D^2y(t) + 6Dy(t) + 13y(t) = 5u(t) \quad (\text{الف})$$

$$y(0) = 1, \quad Dy(0) = 2, \quad D^2y(t) + 3Dy(t) + 4y(t) = vu(t) + 2t \quad (\text{ب})$$

$$y(0) = 4, \quad Dy(0) = 5, \quad D^2y(t) + 3Dy(t) + 4y(t) = 6 \sin \omega t \quad (\text{ج})$$

تابع تبدیل متناظر سیستم را تعیین کنید. پاسخهای سیستم را بر حسب تبدیل لaplas پیدا کنید.

$2-2$ - تابع تبدیل مدار الکتریکی نشان داده شده در شکل ۳۸-۲ را بدست آورید.



شکل ۳۸-۲ مدار الکتریکی مسئله ۲

$3-2$ - سیستم دو ورودی و دو خروجی نشان داده شده در شکل ۳۹-۲ را در نظر بگیرید. در

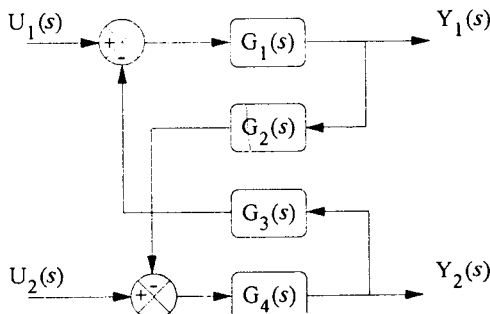
این سیستم ورودیها به ترتیب  $(s)U_1$ ,  $(s)U_2$  و خروجیها  $(s)Y_1$  و  $(s)Y_2$  می‌باشند.

الف - خروجی  $(s)Y_1$  را بر حسب ورودیها بدست آورید.

ب - خروجی  $(s)Y_2$  را بر حسب ورودیها بدست آورید.

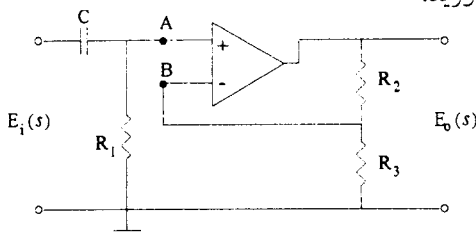
اثر برابر ساختن  $G_1G_4$  و  $G_2G_3$  چیست؟ با فرض  $G_1G_4 \neq (G_2G_3)^{-1}$ ، مقدار

$Y(s) = Y_1(s) + G_3Y_2(s)$  را چنان پیدا کنید که  $Y(s) = G_1U_1(s)$ ، که در آن  $G_1$

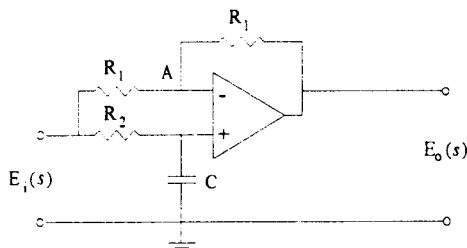


شکل ۳۹-۲ سیستم دو ورودی و دو خروجی مسئله ۳-۲

۴۰-۲ تابع تبدیل  $(s)E_o(s)/E_i(s)$  مدارهای op-amp نشان داده شده ذر شکل‌های ۴۰-۲ و ۴۱-۲ را بدست آورید.

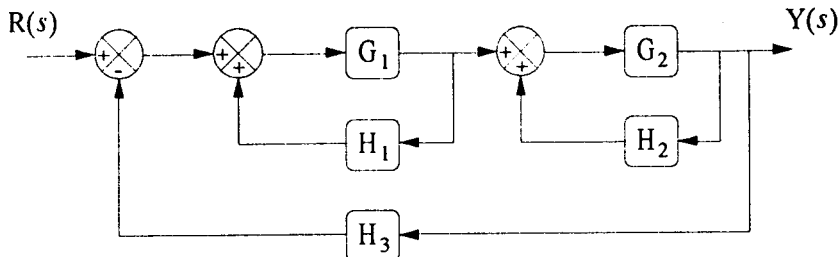


شکل ۴۰-۲ مدار تقویت کننده عملیاتی (op-amp)

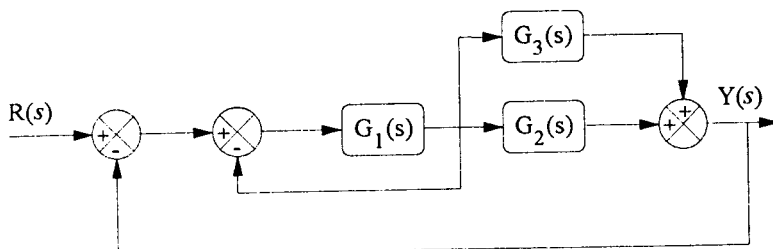


شکل ۴۱-۲ مدار تقویت کننده عملیاتی (op-amp)

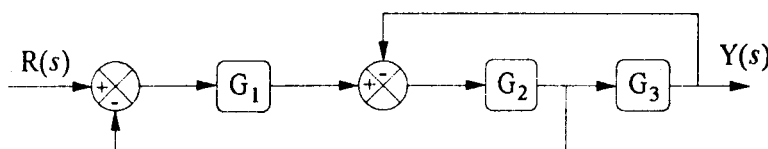
۵-۲ (الف) - با ساده کردن دیاگرام های بلوکی شکل های ۴۳-۲ ، ۴۲-۲ ، ۴۴-۲ و ۴۵-۲ تابع تبدیل کلی آنها را بدست آورید.



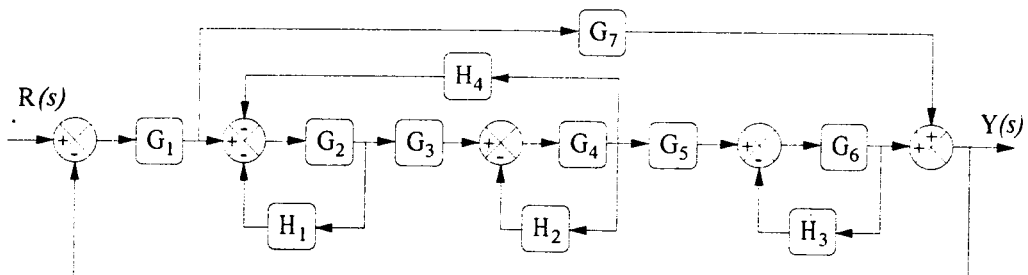
شکل ۴۲-۲ دیاگرام بلوکی مسئله ۵-۲



شکل ۴۳-۲ دیاگرام بلوکی مسئله ۵-۲



شکل ۴۴-۲ دیاگرام بلوکی مسئله ۵-۲



شکل ۴۵-۲ دیاگرام بلوکی مسئله ۵-۲

(ب) - با رسم نمودار گذر جریان متناظر دیاگرام‌های بلوکی قسمت الف - و استفاده از قانون میسن تابع تبدیل کلی دیاگرام‌های بلوکی را بدست آورید.

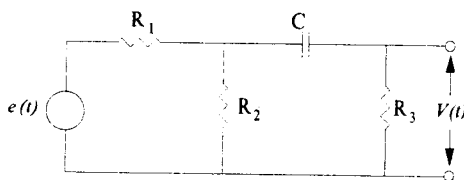
۴-۶- مدار نشان داده شده در شکل ۴۶-۲ را در نظر بگیرید. که در آن ورودی سیستم و

خروجی آن به ترتیب عبارتند از  $e(t)$  و  $v(t)$

الف - دیاگرام بلوکی مدار را رسم کنید.

ب - نمودار گذر سیگنال مدار را رسم کنید.

ج - با ساده کردن دیاگرام بلوکی و استفاده از قانون میسن، تابع تبدیل مدار را پیدا کنید.



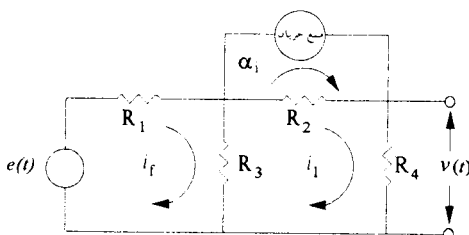
شکل ۴۶-۲ مدار مسئله ۴۶-۲

۴-۷- مدار نشان داده شده در شکل ۴۷-۲ را در نظر بگیرید. که در آن ورودی سیستم  $e(t)$  و

خروجی آن  $v(t)$  می‌باشند.  $\alpha$  نیز ثابت است.

الف - نمودار گذر سیگنال مدار را رسم کنید.

ب - تابع تبدیل مدار را پیدا کنید.

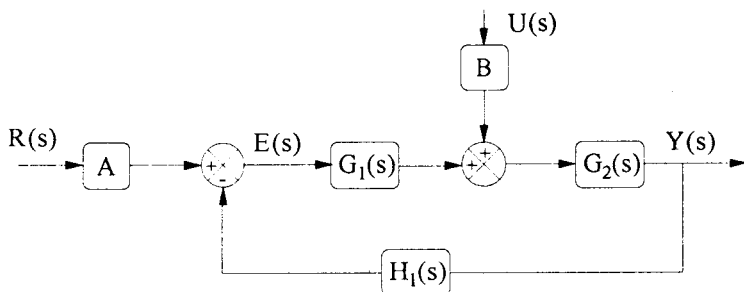


شکل ۴۷-۲ مدار مسئله ۴۷-۲

۴-۸- دیاگرام بلوکی نشان داده شده در شکل ۴۸-۲ را در نظر بگیرید.

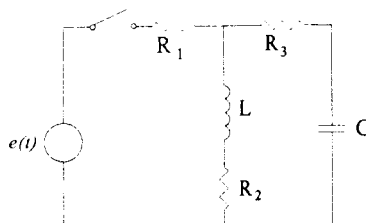
الف - نمودار گذر سیگنال معادل آنرا رسم کنید.

ب - توابع تبدیل  $E(s)/U(s)$  ،  $Y(s)/U(s)$  و  $Y(s)/R(s)$  را پیدا کنید.



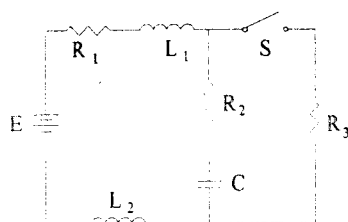
شکل ۴۸-۲ دیاگرام بلوکی مسئله ۴۹-۲

۹-۲. معادلات حالت مدار نشان داده شده در شکل ۴۹-۲ را بعد از آنکه کلید بسته شد، بنویسید.



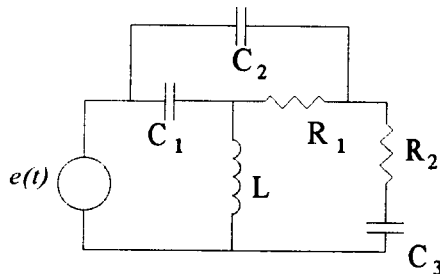
شکل ۴۹-۲ مدار مسئله ۴۹-۲

۱۰-۲. مدار نشان داده شده در شکل ۵۰-۲ با کلید بسته در حالت ماندگار عمل می‌کند. در زمان  $t = 0$  کلید باز می‌شود، معادلات حالت مدار را بنویسید



شکل ۵۰-۲ مدار مسئله ۱۰-۲

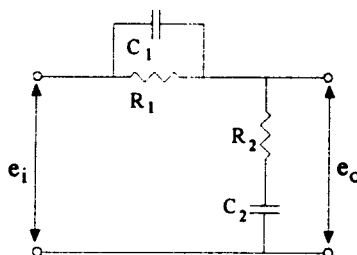
۱۱-۲- مدار نشان داده شده در شکل ۵۱-۲ را در نظر بگیرید. اگر ورودی مدار  $e(t)$  و خروجی آن ولتاژ دو سه خازن باشد، معادلات حالت و خروجی آنرا بنویسید.



شکل ۵۱-۲ مدار مسئله ۱۱-۲

۱۲-۲- مدار نشان داده شده در شکل ۵۲-۲ را در نظر بگیرید.

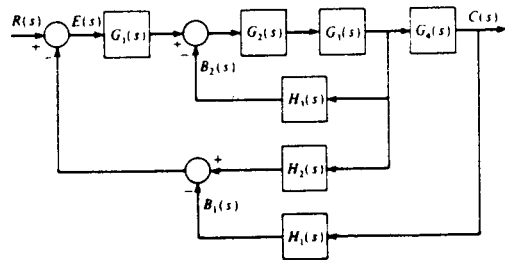
- الف - با انتخاب متغیرهای حالت مناسب، معادلات حالت و خروجی مدار را بنویسید.
- ب - با استفاده از معادلات حالت و خروجی بدست آمده از الف - و همچنین، مستقیماً معادلات دیفرانسیل مدار، تابع تبدیل آنرا بدست آورید.



شکل ۵۲-۲ مدار مسئله ۱۲-۲

۱۳-۲- دیاگرام بلوکی سیستمی در شکل ۵۳-۲ نشان داده شده است.

- الف - نمودار گذرسیگنال آنرا رسم کنید.
- ب - با بکارگیری قانون میسن تابع تبدیل سیستم را بدست آورید.

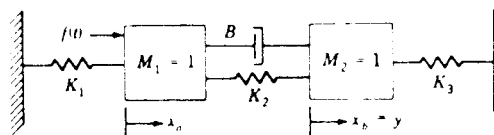


شکل ۵۳-۲ دیاگرام بلوکی مسئله ۱۳-۲

۱۴-۲- سیستم مکانیکی نشان داده شده در شکل ۵۴-۲ را در نظر بگیرید.

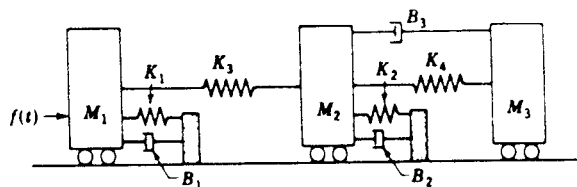
(الف) - تابع تبدیل بین ورودی  $f(t)$  و خروجی  $y(t)$  را بدست آورید.

(ب) - با انتخاب متغیرهای حالت مناسب، معادلات حالت و خروجی سیستم را بنویسید.



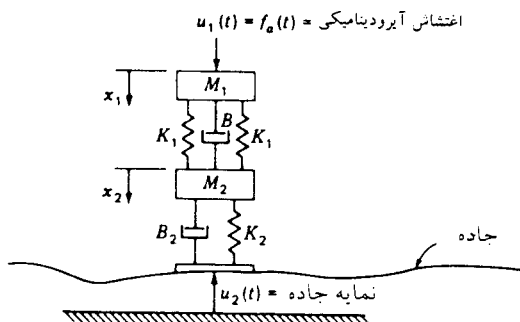
شکل ۵۴-۲ سیستم مکانیکی مسئله ۱۴-۲

۱۵-۲- معادلات حالت و خروجی سیستم مکانیکی نشان داده شده در شکل ۵۵-۲ را بدست آورید.



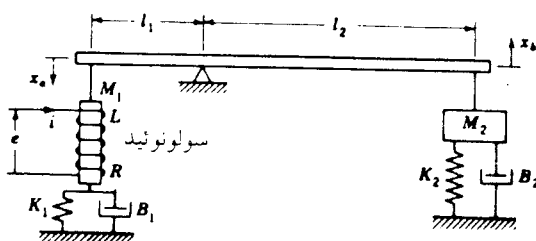
شکل ۵۵-۲ سیستم مکانیکی مسئله ۱۵-۲

۱۶-۲. مدل سیستم فنر عمودی یک اتومبیل در شکل ۵۶-۲ نشان داده شده است. (الف) - معادلات دیفرانسیل حاکم بر سیستم را بنویسید. (ب) - با انتخاب متغیرهای حالت مناسب، معادلات حالت و خروجی سیستم را بدست آورید. خروجیهای سیستم جابجایی جرم‌ها  $M_1, M_2$  می‌باشند. (ج) - تابع تبدیل بین  $\hat{u}_2, x_2$  را که در آن  $\hat{u}_2 = (B_2 D + K_2) u$ ، نیروی اعمال شده توسط جاده می‌باشد را پیدا کنید.



شکل ۵۶-۲ مدل سیستم فنر عمودی یک اتومبیل

۱۷-۲. یک محرک الکترومغناطیسی، یک سولونوئید<sup>۱</sup> را شامل می‌گردد که یک نیروی مغناطیسی متناسب با جریان کوییا<sup>۲</sup>،  $K_i = f_i i$  ایجاد می‌کند. کوییا یک مقاومت و یک هدايت<sup>۳</sup> دارد، به شکل ۵۷-۲ مراجعه کنید.



شکل ۵۷-۲ یک محرک الکترومغناطیسی

الف - معادلات دیفرانسیل سیستم را بنویسید.

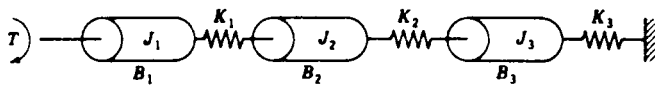
1- Solenoid

2- Coil

3- Inductance

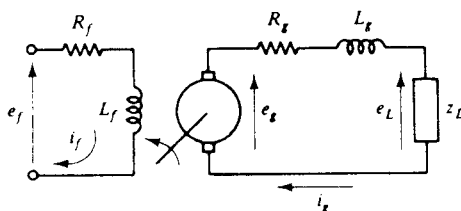
ب - با انتخاب متغیرهای حالت مناسب، معادلات حالت سیستم را بنویسید.

- ۱۸-۲- برای سیستم ممان ایزوسی، میراکننده و فنرنشان داده شده در شکل ۵۸-۲، (الف) - معادلات دیفرانسیل سیستم را بنویسید. (ب) - معادلات حالت را بنویسید.



شکل ۵۸-۲ سیستم مسئله ۱۸-۲

- ۱۹-۲- شکل شماتیک یک ژنراتور DC در شکل ۵۹-۲ نشان داده شده است. با فرض اینکه ولتاژ ژنراتور ایجاد شده  $\epsilon_0$  متناسب با جریان میدان است و همچنین با  $z_L = z_L(s)$  امپدانس بار<sup>۱</sup>، توابع تبدیل  $(E_f(s)/E_g(s))$  و  $E_L(s)/E_g(s)$  را پیدا کنید.



شکل ۵۹-۲ یک ژنراتور DC

- ۲۰-۲- دینامیک بسیاری از سیستم‌های صنعتی توسط یک دستگاه معادلات دیفرانسیل غیر خطی به صورت زیر توصیف می‌شود:

$$\dot{\mathbf{x}}(t) = \mathbf{f}[\mathbf{x}(t), u(t)]$$

که در آن  $\mathbf{x}(t)$  بردار  $n$  بعدی حالت و  $u(t)$  ورودی سیستم،  $\mathbf{f}$  نیز یک تابع غیر خطی است. برای اعمال تحلیل و تئوری‌های موجود سیستم‌های خطی به سیستم‌های غیر خطی، لازم است که یک مدل خطی از اینگونه دستگاه معادلات غیر خطی در حول نقطه کار<sup>۲</sup> بسته آوریم. اگر نقطه کار را با  $(\mathbf{x}_0, u_0)$  نشان دهیم، با بسط سری تیلور

1- Load impedance

2- Operating point

معادله دیفرانسیل غیر خطی سیستم حول نقطه کار و صرفنظر کردن از عبارات درجه

دوم و بالاتر، داریم

$$\dot{x}_i(t) = f_i(\mathbf{x}_*, u_*) + \sum_{j=1}^n \frac{\partial f_i}{\partial x_j}(\mathbf{x}, u) \left|_{(\mathbf{x}_*, u_*)} \right. (x_j - x_{*j}) + \frac{\partial f_i}{\partial u}(\mathbf{x}, u) \left|_{(\mathbf{x}_*, u_*)} \right. (u - u_*)$$

که در آن  $i = 1, 2, \dots, n$ . با تعریف

$$\Delta x_i = x_i - x_{*i}, \quad \Delta u = u - u_*$$

داریم

$$\dot{x}_i = \dot{x}_i - \dot{x}_{*i}$$

از آنجایی که

$$\dot{x}_{*i} = f_i(\mathbf{x}_*, u_*)$$

داریم

$$\dot{x}_i = \sum_{j=1}^n \frac{\partial f_i}{\partial x_j}(\mathbf{x}, u) \left|_{(\mathbf{x}_*, u_*)} \right. \Delta x_j + \frac{\partial f_i}{\partial u}(\mathbf{x}, u) \left|_{(\mathbf{x}_*, u_*)} \right. \Delta u$$

معادله فوق را می‌توان به صورت بردار - ماتریسی زیر نوشت

$$\dot{\mathbf{x}} = A \Delta \mathbf{x} + B \Delta u$$

که در آن

$$A = \begin{bmatrix} \frac{\partial f_1}{\partial x_1} & \frac{\partial f_1}{\partial x_2} & \cdots & \frac{\partial f_1}{\partial x_n} \\ \frac{\partial f_2}{\partial x_1} & \frac{\partial f_2}{\partial x_2} & \cdots & \frac{\partial f_2}{\partial x_n} \\ \vdots & \vdots & & \vdots \\ \frac{\partial f_n}{\partial x_1} & \frac{\partial f_n}{\partial x_2} & \cdots & \frac{\partial f_n}{\partial x_n} \end{bmatrix} \quad B = \begin{bmatrix} \frac{\partial f_1}{\partial u} \\ \frac{\partial f_2}{\partial u} \\ \vdots \\ \frac{\partial f_n}{\partial u} \end{bmatrix}$$

ماتریس‌های A و B در نقطه کار محاسبه شده‌اند و این معادلات، مدل خطی شده سیستم را حول نقطه نامی نشان می‌دهند.

اگر معادلات غیر خطی حاکم بر سیستمی به صورت زیر باشند

$$\dot{x}_1(t) = x_1(t) - \sin 2x_2(t) + u_1(t) = f_1(t)$$

$$\dot{x}_2(t) = x_2(t) - u_1(t) + x_1(t)e^{-x_1(t)} = f_2(t)$$

معادلات خطی شده آن حول نقطه نامی  $(0, 0)$  را بدست آورید.

## مراجع فصل دوم

- [2-1] Marshall J.E., *Control of time delay systems*, IEE Control Engineering series 10, 1978.
- [2-2] Nash p., *System modelling and optimization*, Peter peregrinus Ltd, 1981.
- [2-3] Nicholson H (ed), *Modelling of dynamical systems*, Vol. 1, Peter peregrinus Ltd, 1980.
- [2-4] Wellstead P.E., *Introduction to physical system modelling*, Academic press, 1979.
- [2-5] Ziegler, B., *Theory of Modelling and simulation*, John wiley, 1976.
- [2-6] Mclean D., *Automatic flight control systems*, Englewood cliffs, N.J: Prentice. Hall , 1990.

## کتاب شناسی

مراجع [1] تا [7] به طور تفصیلی، توابع تبدیل سیستم‌های فیزیکی و قواعد کاهش توابع تبدیل را در فصول مختلف مورد بررسی قرار داده‌اند. مراجع [15] و [11]، توابع تبدیل سیستم‌های غیر مهندسی برق را (مانند بیومهندسی در مرجع [11]) مورد بررسی قرار داده‌اند. توابع تبدیل سیستم‌های کنترل فرایند، به طور مشخص در [15] بحث شده‌اند.

برای برخورد عملی تو با توابع تبدیل و دیاگرام‌های بلوکی، همراه با مدارهای الکتریکی متناظر سیستم‌های مورد بررسی، و همچنین مدارهای عملی و کاربردی به مرجع [18] مراجعه شود. برای مثالهای متنوع در زمینه رسم دیاگرام‌های بلوکی سیستم‌های عملی به مرجع [2] مراجعه شود.

نمودار گذر سیگناال و قانون میسن در مراجع [1] تا [4] و همچنین [6] و [11] به تفصیل آورده شده‌اند.

برای مدلسازی سیستم‌های متفرقه (مدارهای الکتریکی، سیستم‌های مکانیکی، سیستم‌های هیدرولیکی و سیستم‌های حرارتی) توسط متغیرهای حالت و انتخاب متغیرهای فیزیکی حالت می‌توان از مرجع [1] استفاده نمود. مدلسازی سیستم‌های تاخیردار<sup>1</sup> در مرجع [1-2] و مرجع [3] آورده شده است.

مدلسازی سیستم‌های فیزیکی، به طور تخصصی در مراجع [2-5] تا [2-2]، مورد بررسی قرار گرفته‌اند. در این مراجع روشهای مختلف مدلسازی سیستم‌های فیزیکی (در بدست آوردن توابع تبدیل یا متغیرهای حالت) همراه با شبیه‌سازی آنها، آورده شده‌اند. برای بدست آوردن مدارهای معادل الکتریکی و یا مکانیکی سیستم‌ها به هر کدام از مراجع [2-5] تا [2-2] و برای برخورد ساده‌تر به مراجع [1], [2], [3] و [4] مراجعه کنید.

برای بدست آوردن توابع تبدیل و رسم دیاگرام‌های بلوکی موتورهای AC، زناتورها و سایر سرو مکش‌انیزم‌ها می‌توان به مراجع [1], [2], [5], [8], [9], [10], [14] و [18] مراجعه کرد.

برای مدلسازی توابع تبدیل و نمایش فضایی حالت دینامیک پرواز و رسم دیاگرام‌های بلوکی متناظر به مرجع [1-6] مراجعه شود.